

وزارة التعليم العالي

MINISTERE DE L'ENSEIGNEMENT SUPERIEUR

ÉCOLE NATIONALE POLYTECHNIQUE

DEPARTEMENT D'ELECTRONIQUE

المدرسة الوطنية المتعددة التقنيات
BIBLIOTHEQUE — المكتبة
Ecole Nationale Polytechnique

PROJET DE FIN D'ETUDES

S U J E T

Etude et réalisation d'un
discriminateur de fréquence
à boucle de verrouillage de
phase en transmission
numérique

Proposé par : M^r
GORALSKI

Etudié par : M^{rs}
A. LOUDNI
M. BOUZIANE

Dirigé par : M^r
GORALSKI

PROMOTION : Janvier 89

Remerciements

Que Monsieur Goralski, Professeur à l'ENFA, trouve ici l'expression de notre haute gratitude.

Nos plus vifs remerciements adressent également à nos amis :

- Mr Bourab

Mr Bouzit

Mr NEZAOUI Professeur à l'UST.HB.

Mr HINI

Que nous prions de trouver, ici l'expression de notre amitié sincère.

Nous tenons à remercier également, tous les professeurs de l'EN.PA.
qui ont contribué à notre formation

BOUZIANE MOHAMED
LOUDNI ANWAR.

SOMMAIRE

Avant Propos page 1

Chapitre 1 : Fonctionnement de la boucle à verrouillage
de phase: Page 2 à 6

Chapitre 2 : Elements Constituants une boucle à verrouillage
de phase: page 7 à 17

Chapitre 3 : les équations générales d'un boucle à verrouillage
de phase: page 18 à 22.

Chapitre 4 : Boucle à verrouillage de phase numérique.
page 23 à 28

Chapitre 5 : Modulation et demodulation F.S.K.
page 29 à 33.

Chapitre 6 : Réalisation
page 34 à 57

Conclusion page 57.

Bibliographie page 59.

AVANT PROPOS

Notre sujet consiste en l'étude et réalisation d'un démodulateur F.S.K (Frequency Searing Keying : excursion de fréquences commutée) avec une boucle à verrouillage de phase pour signaux numériques.

Nous avons conçu notre démodulateur en utilisant un comparateur de phase et un V.C.O (Voltage Controlled oscillator : oscillateur contrôlé en tension) du circuit intégré CD4046 qu'on a fait suivre d'un filtre actif.

Ce qui constitue notre boucle à verrouillage de phase et à la sortie du filtre, on a ajouté un écrêteur comme le montre le schéma ci-dessous :

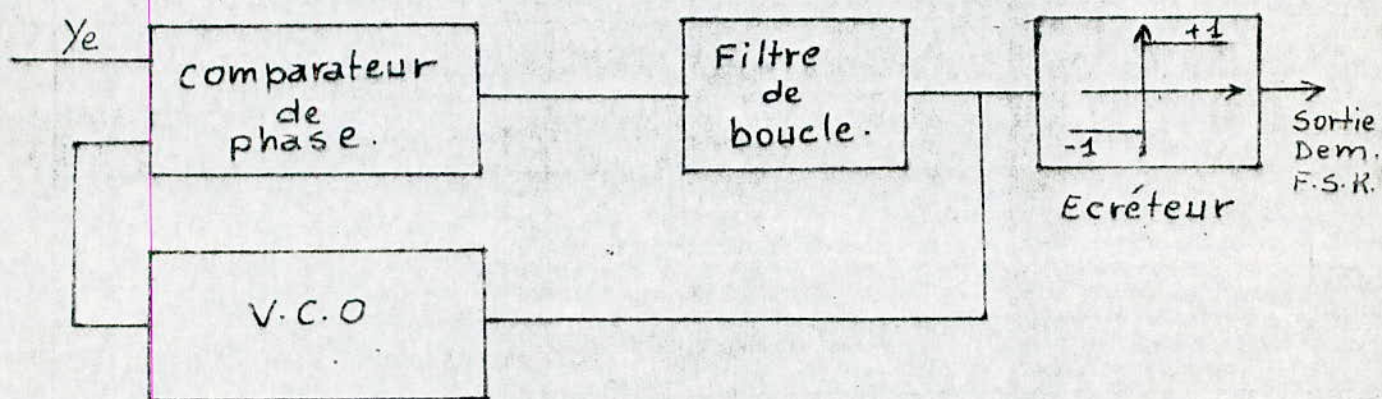


Schéma synoptique d'un démodulateur F.S.K.

CHAPITRE I

Principe de fonctionnement.

Une boucle d'asservissement de phase est un dispositif permettant d'asservir la phase du signal issu de l'oscillateur modulable en fréquence à celle du signal d'entrée. Ce dispositif est représenté sur la figure 11.

Les deux signaux sont appliqués à un comparateur de phase organisé dont la tension de sortie est une fonction de la différence de phase entre les deux signaux appliqués. Cette tension, après filtrage passif dans le filtre de boucle est appliquée à l'entrée modulation de l'oscillateur modulable en fréquence (ou VCO. Pour Voltage control led oscillateur) de telle façon que la phase du signal d'oscillation soit asservie à la phase du signal d'entrée.

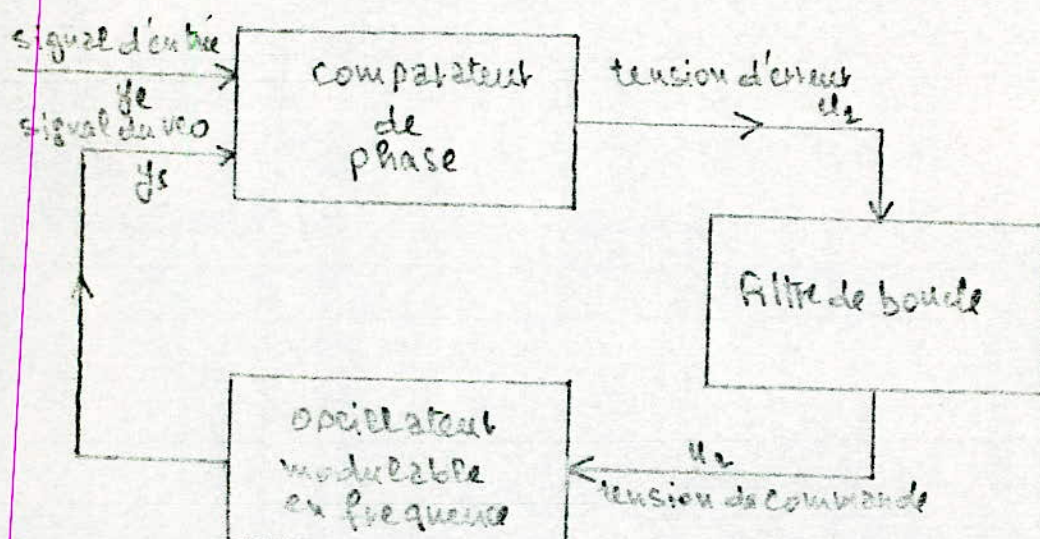


figure 11

schéma général d'une boucle d'asservissement de phase

Supposons tout d'abord que la boucle n'est pas fermée, c'est à dire que la tension u_e n'est pas appliquée à l'entrée modulation du VCO. Supposons que les signaux y_e et y_s sont des signaux sinusoïdaux d'expressions:

$$y_e = A \cos(\omega_e t + \theta_e)$$

$$y_s = B \cos(\omega_0 t + \theta_s)$$

La pulsation du signal d'entrée est ω_e et ω_0 est la pulsation

de repos du VCO. La valeur des constantes de phase θ_e et θ_s dépend du choix de l'origine du temps. Dans le cas général, θ_e est différent de θ_s et les signaux ne sont pas synchrones, si le comparateur de phase a une caractéristique sinusoidale, la tension de sortie U_1 a pour expression :

$$U_1 = K_1 \cos(\omega_e - \omega_s)t + \theta_e - \theta_s \quad (1)$$

les signaux y_e et y_s n'étant pas synchrones, la tension de sortie du comparateur de phase U_1 est une tension sinusoidale d'amplitude K_1 et dont la pulsation est égale à la différence des pulsations des signaux y_e et y_s . A un instant quelconque, on applique la tension U_e à l'entrée du moduleur VCO. Au bout d'un certain temps suffisamment grand pour que les régimes transitoires soient éteints et sous réserve que la différence de pulsation $(\omega_e - \omega_s)$ ne soit pas trop grande, on constate que le signal issu du VCO est devenu synchronisé avec le signal d'entrée y_s . On peut écrire l'expression de y_s sous forme :

$$y_s = B \cos(\omega_s t + \phi_s)$$

c'est-à-dire que la quantité θ_s est devenue une fonction linéaire du temps d'expression : $\theta_s = (\omega_s - \omega_e)t + \phi_s$. (1.8)

tandis que la valeur de la tension du comparateur U_1 est devenue une tension continue de valeur : $U_1 = K_1 \cos(\theta_e - \theta_s)$ (1.3).

le filtre de boucle est du type passe-bas, il laisse passer la tension continue U_1 de telle sorte que la tension de commande U_e s'écrit :

$$U_e = U_1 = K_1 \cos(\theta_e - \theta_s).$$

Le VCO est un oscillateur modifiable en fréquence, sa pulsation instantanée ω_i est une fonction linéaire de la tension de commande, autour de la pulsation de repos ω_0 :

$$\omega_i = \frac{d}{dt}(\omega_0 t + \theta_e) = \omega_0 + K_3 U_e$$

$$\text{donc : } \frac{d\theta_s}{dt} = K_3 \theta_e \quad (1.4)$$

K_3 , la constante de proportionnalité, représente la sensibilité de modulation du VCO.

en portant (1.2) et (1.8) dans l'équation (1.4) on obtient :

$$\omega_e - \omega_0 = K_1 K_3 \cos(\Omega_e - ds)$$

et d'où l'on tire : $ds = \Omega_e - \omega_0 \frac{\cos(\omega_e - \omega_0)}{K_1 K_3} \quad (15)$

La tension de sortie du comparateur de phase U_1 peut donc s'écrire

$$U_1 = (\omega_e - \omega_0) / K_3.$$

Il est maintenant possible de les unir. Initialement les signaux y_e et y_S n'étaient pas synchrones : le signal y_e avait une pulsation ω_e et une phase Ω_e ; le signal y_S avait une pulsation ω_0 et une phase Ω_0 , Ω_0 et ω_e étant absolument indépendantes de Ω_e et ω_e . La boucle est dite "décochée".

Lorsque le dispositif fonctionne, le signal y_S devient synchronisé du signal y_e . On dit alors que la boucle est "accrochée". Les signaux ont la même pulsation ω_e . Toutefois subsiste entre les deux signaux une différence de phase $\Omega_e - ds$ donnée par l'équation (15). Cette différence de phase produit une composante continue qui laisse passer le filtre de boucle et qui est appliquée en tension de commande à l'entrée modulation du VCO.

$$U_e = U_1 = (\omega_e - \omega_0) / K_3.$$

Cette dernière équation montre que c'est précisément la tension continue U_e qui permet à la pulsation du VCO de passer de sa valeur de repos ω_0 à la valeur de la pulsation du signal d'entrée ω_e , en effet : $\omega_1 = \omega_0 + K_3 U_e = \omega_0 + \omega_e - \omega_0 = \omega_e$.

S'il la différence de la pulsation initiale $\omega_e - \omega_0$ est faible devant le produit $K_1 K_3$, l'équation (15) devient :

$$\Omega_e - ds \approx \Delta \omega \cos(0) = \pi / 2$$

C'est à dire que l'écart de fréquence entre le signal d'entrée et le signal du VCO est faible lorsque la boucle est "décochée", le signal du VCO est pratiquement en quadrature avec le signal d'entrée lorsque la boucle est accrochée.

La quadrature est obtenue rigoureusement pour $\omega_e = \omega_0$. C'est pourquoi l'on a l'habitude de substituer à la constante de phase ds , la constante f_0 est telle que : $f_0 = \omega_0 - \pi / 2$.

Alors : $U_1 = K_1 \cos(\Omega_e - \Omega_s) = K_1 \sin(\Omega_e - \Omega_s)$

on considère souvent la différence $\Omega_e - \Omega_s$ comme étant "l'erreur" de phase entre les signaux, cette erreur de phase étant nulle lorsque les différences initiales sont égales.

Ceci n'est vrai qu'à très près. Par conséquent une autre méthode consiste à noter convenablement les signaux sous forme :

$$y_e = A \sin(\omega_e t + \Omega_e)$$

$$y_s = B \cos(\omega_s t + \Omega_s)$$

Avec cette notation le signal de sortie du comparateur de phase s'écrit : $U_1 = K_1 \sin((\omega_e - \omega_s)t + \Omega_e - \Omega_s)$

Lorsque la boucle est déclenchée et $U_1 = K_1 \sin(\Omega_e - \Omega_s)$, lorsque le dispositif fonctionne avec : $\Omega_e - \Omega_s = \text{Arc Sin}(\omega_e - \omega_s) / K_1 K_3$ (1.6)

Lorsque la différence $\Omega_e - \Omega_s$ est suffisamment petite, on peut faire l'approximation : $U_1 \approx K_1 (\Omega_e - \Omega_s)$

La constante K_1 apparaît alors comme la sensibilité du comparateur et se mesure en Volt par radian (V/rad) La sensibilité de modulation du VCO, K_3 se mesure en Hertz/Volt (Hz/V) ou en radian par seconde par volt ($rads/V$).

Le produit $K = K_1 K_3$ qui est le gain en boucle ouverte de l'asservissement plus brièvement appelé "gain de boucle" a donc pour dimension l'inverse d'un temps. Il est exprimé en Hz/V .

L'équation (1.6) permet désormais de tirer une conclusion concernant les conditions de fonctionnement de l'asservissement. En effet, cette équation est valable lorsque la boucle est "accrochée". Supposons que d'une façon plus lente, pour ne pas engendrer des signaux transitoires gêneux, nous écartions la pulsation ω_e de la pulsation de repos du VCO.

Lorsque la différence $(\omega_e - \omega_s)$ devient supérieure au gain de boucle K , l'équation (1.6) ne permet plus de trouver de solution en Ω_s . Le système n'a plus de solution possible et la boucle déclenche. La pulsation du VCO retombe vers sa valeur de repos.

et la tension V_s redevient une tension alternative. Physiquement, cela veut dire que le comparateur de phase n'est plus capable d'élaborer la composante continue qui serait nécessaire au maintien du synchronisme. les valeurs de ω pour lesquelles ce phénomène se produit dépend du type de comparateur utilisé. Pour un comparateur à caractéristique sinusoïdale, la plage de synchronisation, considérée comme étant la plage à l'intérieur de laquelle on peut faire varier, infiniment lentement, la pulsation du signal d'entrée d'une boucle fixablement accrochée, s'étend de $\omega_0 - K$ à $\omega_0 + K$, ω_0 étant la pulsation de repos du VCO et K le gain de boucle.

CHAPITRE II.

éléments constitutifs.

les trois organes d'une boucle d'asservissement de phase sont le comparateur de phase, le filtre de boucle et l'oscillateur modulable en fréquence ou V.C.O. Il existe pour chacun de ces organes plusieurs types possibles, le choix étant fonction de l'imagination de la personne chargée de concevoir le dispositif, des possibilités de la technique dans le domaine de fréquence en visage, de la forme d'onde des signaux utilisés, des propriétés que doit posséder l'asservissement.

Les types décrits ici sont ceux que l'on rencontre le plus fréquemment. Bien que l'on puisse maintenant trouver des boucles d'asservissement de phases réalisées d'une façon intégrée dans de nombreux cas, il sera nécessaire de définir séparément chaque élément constitutif.

2d. Les Comparateurs de phase:

En ce qui concerne les comparateurs de phase, il est possible de distinguer les comparateurs de phase pour signaux sinusoïdaux et ceux pour signaux carres. Dans ce dernier cas, le signal carré peut être la forme d'onde des signaux utilisés ou encore la forme d'onde obtenue par un échantillage très énergique suivi d'une amplification, de signaux sinusoïdaux.

Lorsque les signaux appliqués au comparateur de phase en particulier le signal d'entrée, sont sinusoïdaux, les comparateurs de phase utilisent généralement des ponts à deux ou quatre diodes alternées de diverses façons, à l'aide d'amplificateurs adaptateur ou à l'aide de transformateur. La caractéristique est alors le plus souvent, du type sinusoïdal. Lorsque les deux signaux sont de forme carrée on peut utiliser soit des ponts de diodes (ou transistors) comme pour les signaux sinusoïdaux, soit des dispositifs logiques ou inspirés des techniques numériques.

La caractéristique du comparateur de phase est alors du type linéaire sur un intervalle $(0, \pi)$ ou $(-\pi, \pi)$ ou $(-2\pi, 2\pi)$ caractéristique bien

gulaire ou en dents de pêche).

2.2. Comparateur de phase à quatre diodes.

considérons le dispositif à quatre diodes de la figure (2.1) si le signal e_R est de forme sinusoïdale et si l'amplitude de e_R est très grande que l'amplitude de e_S ($E_R \gg E_S$) la caractéristique $V(\varphi)$ (avec $V = V_0 - V_\theta$ et φ : déphasage entre e_R et e_S) est du type sinusoïdal. si maintenant le signal e_R est de forme d'onde carrée et d'amplitude supérieure à la valeur de crête du signal e_S , le dispositif fonctionne comme un multiplicateur du signal e_S par la fonction signe [e_R].

Supposons maintenant que le signal e_S soit également de forme d'onde carré et de période égale à celle du signal e_R . le signal $v(t)$ obtenu en sortie du comparateur est alors celui représenté sur la figure (2.2) il vaut $+E_S$ si e_R et e_S sont de même signe et $-E_S$ lorsque e_R et e_S sont de signe contraire ou peut écrire:

$$v(t) = V_0(t) - V_\theta(t) = E_S \cdot \text{Signe}[e_S] \times \text{Signe}[e_R]$$

figure 2.1

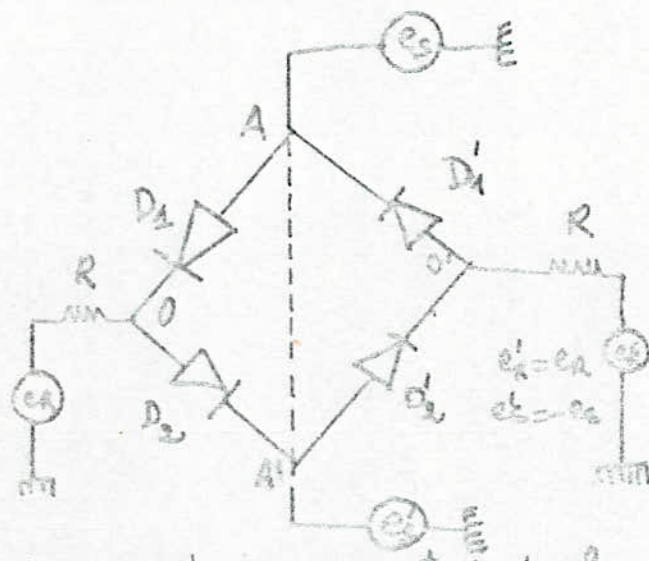


Schéma de principe d'un comparateur de phase à 4 diodes.

En appelant conventionnellement "déphasage" la quantité ωt_0 , t_0 étant le retard du signal e_R par rapport au signal e_S et ω étant la pulsation correspondant à la fréquence f des signaux (il est le déphasage du fondamental du signal e_R par rapport au fondamental du signal e_S), on peut calculer la valeur de la compo-

sauts continus du signal $v(t)$ en fonction de φ . $\bar{v} = \frac{1}{T} \int_0^T v(t) dt$
lorsque: $\omega t \in \pi$ on obtient:

$$\bar{v} = \frac{E_S}{\pi} \times \left[\int_{t_0}^{t_0} dt + \int_{t_0}^{T/2} dt + \int_{T/2}^{T-t_0} dt + \int_{T-t_0}^T dt \right] = \frac{E_S}{\pi} [T - 4t_0]$$

Soit $\bar{v} = \frac{2E_S}{\pi} (\pi - \varphi)$ pour $\varphi < \pi$ équation 2.1.
et $\bar{v} = \frac{2E_S}{\pi} (\varphi - \frac{3\pi}{2})$ pour $\pi < \varphi < 2\pi$

La caractéristique correspondante est représentée en figure 2.3 tandis que la sensibilité du comparateur de phase vaut:

$$K_1 = \left| \frac{d\bar{v}}{d\varphi} \right|_{\varphi=\frac{\pi}{2}} = 2E_S/\pi.$$

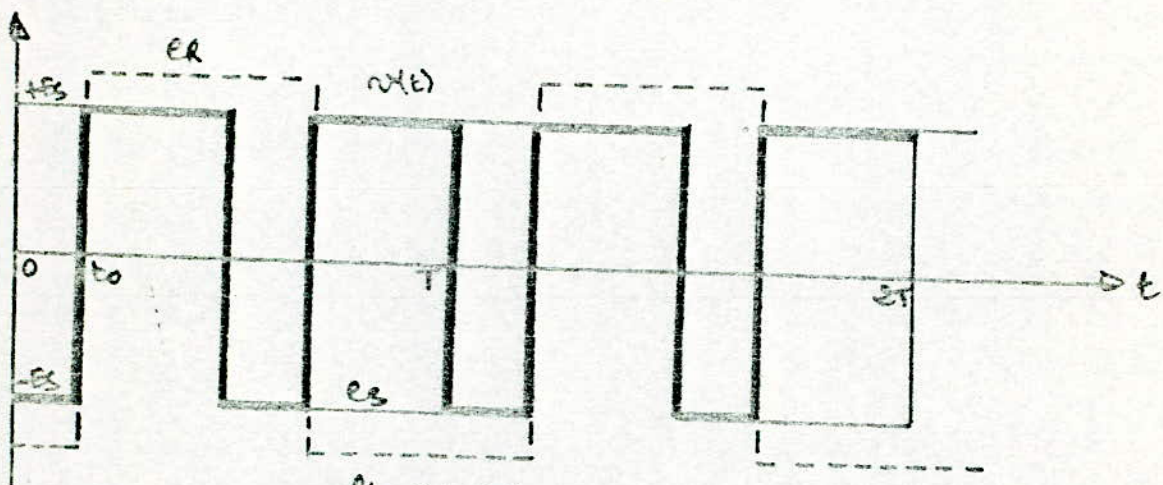


figure 2.2.

Signal de sortie d'un comparateur de phase à quatre diodes
utilisé avec des signaux carénés.

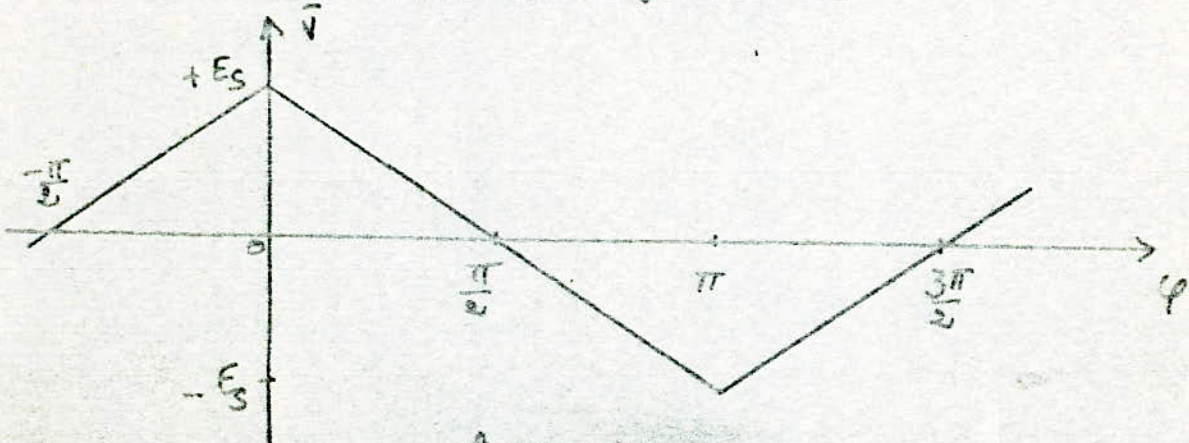


figure 2.3.

Caractéristique d'un comparateur à quatre diodes utilisée avec des signaux carénés ou caractéristique d'un "ou exclusif" classique

Il est possible de vendre la caractéristique indépendante de l'amplitude du signal e_s en utilisant en amont du comparateur de phase un émetteur délivrant un signal d'amplitude $\pm A$ (suivant le signe de e_s) et tel que $A < E_R$. La sensibilité du comparateur de phase vaut alors $\frac{A}{E_R}$. Mais le signal $V(1)$ de la figure 2.2 et, par conséquent, la caractéristique D(V) de la figure 2.3 peuvent être obtenus plus simplement qu'à l'aide du dispositif à quatre diodes en utilisant des circuits logiques.

Posons conventionnellement :

$$e_s \rightarrow 1 \text{ quand } e_s = +E_S$$

$$e_s \rightarrow 0 \quad " \quad e_s = -E_S$$

$$e_R \rightarrow 1 \quad " \quad e_R = +E_R$$

$$e_R \rightarrow 0 \quad " \quad e_R = -E_R$$

Lorsque les deux signaux e_s et e_R sont appliqués à un circuit ET, on obtient 1 en sortie lorsque e_s et e_R sont simultanément positifs et 0 autrement. Si l'on effectue la même opération, dans un autre circuit ET, avec les signaux complémentaires \bar{e}_s et \bar{e}_R , on obtient 1 en sortie lorsque e_R et e_s sont simultanément négatifs et 0 autrement. Si les signaux de sortie des deux circuits ET sont appliqués à un circuit OU (voir le schéma de la figure 2.4), on obtient 1 lorsque les signaux e_s et e_R sont du même signe et 0 dans le cas contraire. On a alors réalisé un "ou exclusif" classique il est analogue à celui du comparateur à quatre diodes, sauf que sa dynamique est (0, 1) au lieu de (- E_S , E_R). Si le signal atteint un émetteur sortant - A et + A suit le signal et 0 ou 1, l'ensemble des circuits réalise la fonction :

$$V(1) = A \operatorname{Sig}(e_s) \cdot \operatorname{Sig}(e_R).$$

Si l'on extrait par filtrage passe-bas la composante continue V du signal $V(1)$, on obtient une caractéristique analogue à celle représentée en figure 2.3. En particulier, la sensibilité du comparateur de phase vaut :

$$K_2 = 2A/\pi$$

Il est également possible d'obtenir simplement une caractéristique de

-11-

comparateur de phase linéaire sur un intervalle $(0, \pi)$, lorsque les signaux e_s et e_r ont une forme d'onde carrée, en utilisant un circuit ET.

Bien que dans ce cas on ne réalise pas l'opération $\text{Sign}(e_s) \times \text{Sign}(e_r)$ on peut vérifier qu'en filtrant le signal de sortie d'un simple circuit ET suivi d'un éclateur délivrant $+A$ ou $-A$, suivant que la sortie du circuit ET vaut $+1$ ou 0 , on obtient une composante continue nulle lorsque les signaux sont en phase, de valeur $-A/2$ si l'on soutenu quadrature et $-A$ si l'on sout en opposition de phase.

Par rapport au circuit "ou exclusif", la sensibilité du comparateur de phase à circuit ET est deux fois moins grande et, d'autre part, la caractéristique est centrée de valeur $-A/2$.

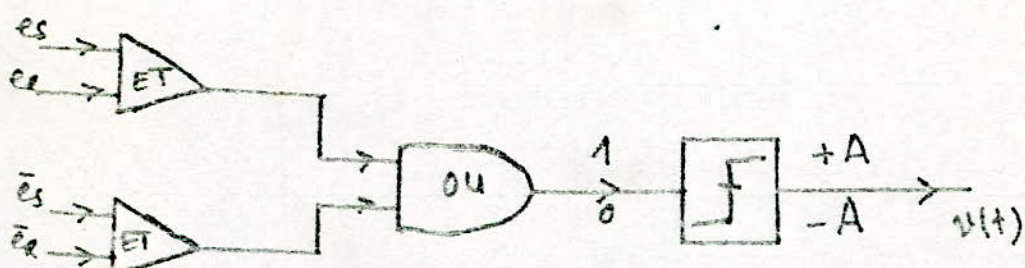


figure 2.4.

Comparateur de phase réalisé à l'aide d'un circuit
"ou exclusif"

2.2 les oscillateurs modulables en fréquence ou VCO.

Les oscillateurs modulables en fréquences utilisés dans les boucles d'asservissement de phase ne se distinguent pas fondamentalement des oscillateurs modulables en fréquence que l'on peut rencontrer dans d'autres applications (modulation de fréquence, contrôle automatique de fréquence etc...).

2.2.1 Définition:

Le VCO (Voltage contrôlé oscillateur) est un dispositif commandé qui livre un signal dont la fréquence est proportionnelle à la tension appliquée.

Principe: la figure 2.5 représente un oscillateur de type sinusoïdal. Sa fréquence est définie par les éléments L et C accordés :

la capacité de la diode varicap et par conséquent la fréquence d'oscillation varie en fonction de la tension de polarisation V_C .

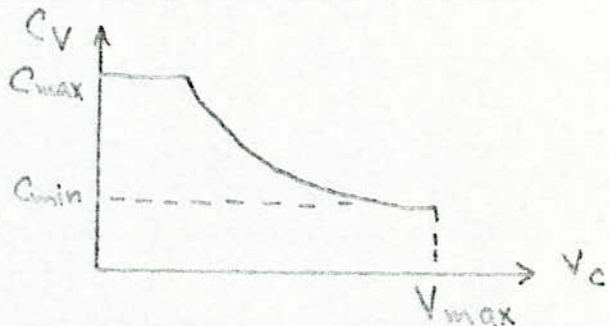
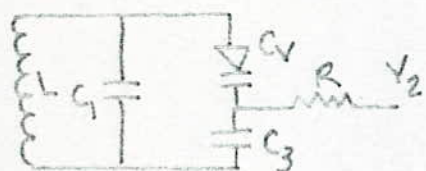


figure 2.5

Oscillateur commandé en tension (V.C.O) du type sinusoïdal
variation de $c_v = f(v_c)$

L : bobine du circuit d'accord

R : résistance de polarisation inverse de la diode.

C_1 : capacité d'accord

C_V : capacité de la diode varicap.

C_3 : capacité de blocage

V_C : tension de polarisation de la diode.

$V_C = V_{Co} + \Delta V_C$ où V_{Co} est la tension de polarisation au repos de la diode. ΔV_C : variation de la tension de commande.

$$C = \frac{K_f L}{V_C^2} = \frac{K}{V_C^2} \text{ et } \frac{C}{C_0} = \frac{V_{Co}^2}{V_C^2} \Rightarrow C = C_0 \cdot \frac{V_{Co}^2}{V_C^2} = C_0 \cdot \frac{V_{Co}^2}{(V_{Co} + \Delta V_C)^2}$$

$$f = \frac{1}{2\pi V c} \quad \text{on remplace } c \text{ par } c_{\text{avr}}: f = \frac{1}{2\pi \sqrt{V c_0 (1 + \frac{V c}{V_{\text{avr}}})^{-2}}}$$

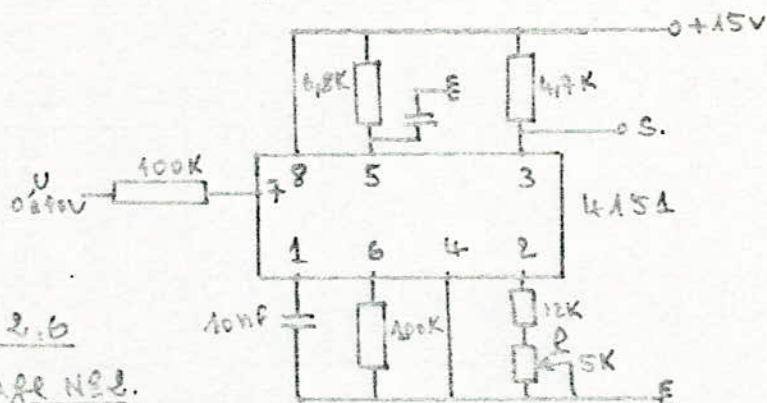
$$f \approx \frac{1}{2\pi V_{L0}} \left[1 + \frac{\Delta V_L}{V_0} \right] = f_0 \left[1 + \frac{\Delta V_L}{V_{L0}} \right]$$

f_0 est la fréquence d'oscillation en présence seule de la tension de polarisation V_{ba} .

Ainsi on voit bien que la fréquence d'oscillation dépend directement de la tension de commande. Il existe différents montages pouvant se ramener au principe ci-dessus.

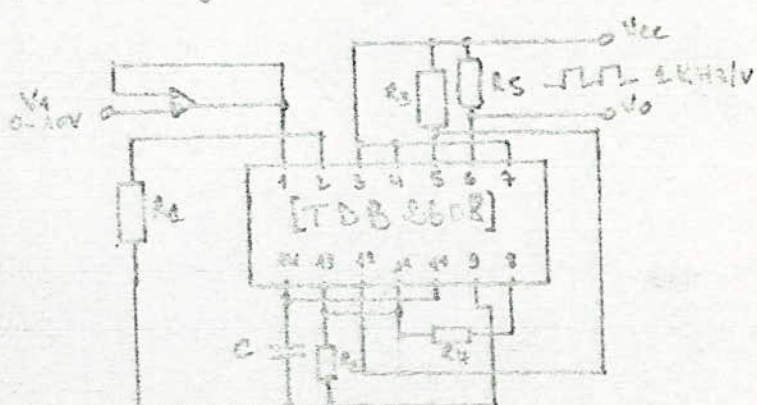
Il fonctionne pour une gamme de fréquence limitée et une zone de linéarité réduite.

Autres types de montages.



Pour ce montage produit par Raytheon, une tension d'entrée de 0 à 10V délivrera une tension de sortie rectangulaire correspondante de 0 à 10 kHz. Il permet d'ajuster le circuit pour obtenir 0 Hz.

$$\begin{aligned}R_1 &= 5 \text{ kN} \\R_2 &= 20 \text{ kN} \\R_3 &= 330 \text{ kN} \\R_4 &= 220 \text{ kN} \\R_5 &= 212 \text{ kN} \\C &= 2 \text{ kN}\end{aligned}$$



大英圖書館藏書

Pour obtenir une meilleure stabilité en température, on peut remplacer le pot par une diode de régulation de tension (Vz = 1.0V). Dans ce cas :

$$f = \frac{V_1}{20V_A R_i C} \quad \text{avec } R_i \text{ nous avons } f = \frac{20 \cdot V_1}{R_i R_c C}$$

§.3. Les filtres de boucles:

les filtres de boucles sont des filtres passe-bas que l'on place entre la sortie du comparateur de phase et l'entrée modulation du VCO. La fonction de transfert du filtre de boucle influence fortement les propriétés de l'appariement et permet, par le choix des paramètres introduits, de modifier les performances du dispositif.

les fonctions de transfert les plus fréquemment utilisées sont très simples et obtenues, soit à l'aide d'un réseau passif placé en circuit de contre réaction d'un amplificateur de gain important ou dit alors parfois que l'on a affaire à un "filtre actif".

Il est quelque fois nécessaire, même lorsque l'on désire utiliser un filtre purement passif, d'ajouter entre le comparateur de phase et le VCO un amplificateur de gain K₂. C'est le cas lors que la sensibilité K₁ du comparateur de phase et la sensibilité de modulation K₃ du VCO sont trop faibles pour réaliser un gain de boucle K donnée. L'utilisation d'un amplificateur de gain K₂ permet de remédier à ce défaut, car dans ce cas, le gain en boucle ouvert, ou gain de boucle K devient :

$$K = K_1 K_2 K_3$$

Le plus souvent, l'amplificateur K₂ sera placé entre le filtre de boucle et le VCO, mais si cet amplificateur est indispensable, il peut être plus judicieux de l'inclure dans un filtre actif.

Le cas le plus simple que l'on puisse envisager est l'absence de filtre de boucle, la fonction de transfert est $f(\omega) = 1$ et la boucle d'asservissement de phase est alors du 1^{er} ordre.

En fait, nous avons vu que les comparateurs de phase nécessitent tous d'utiliser un filtre passe-bas, ne serait-ce que, pour éliminer les composantes à la fréquence f et aux fréquences harmoniques de f.

qui accompagnent la composante continue en sortie. Mais on suppose que ce filtre est à bande passante suffisamment large pour ne pas intervenir dans les propriétés de l'asservissement.

Le filtre passe-bas le plus simple que l'on puisse réaliser est le filtre R-C de fonction de transfert. $F(j\omega) = \frac{1}{1+j\omega\tau_1}$
soit: $f(j\omega) = \frac{1}{1+j\omega\tau_1}$ avec $\tau_1 = RC$ équation (2.2)

L'utilisation d'un tel filtre conduit à une boucle du 2^e ordre.

Mais les performances obtenues sont relativement limitées, essentiellement parce que l'on n'a introduit qu'un seul paramètre supplémentaire: la constante de temps τ_1 .

Les caractéristiques essentielles d'une boucle du 2^e ordre sont la pulsation propre et le coefficient d'amortissement.

En ajoutant une résistance en série avec la capacité du filtre, on peut obtenir le paramètre à choisir supplémentaire. La fonction de transfert du filtre représenté en figure (2.8) est donnée par:

$$F(j\omega) = \frac{U_2}{U_1} = \frac{R_2 + 1/j\omega C}{R_1 + R_2 + 1/j\omega C} = \frac{1 + j\omega R_2 C}{1 + j\omega(R_1 + R_2)C} \quad \text{équation (2.3)}$$

soit $f(j\omega) = (1 + \omega^2 \tau_2^2)/(1 + \omega^2 \tau_1^2)$ avec $\tau_2 = R_2 C$, $\tau_1 = (R_1 + R_2)C$

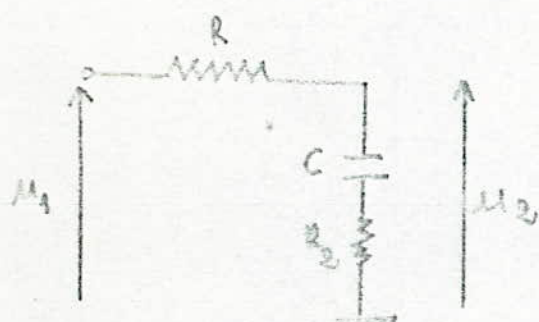


Figure (2.8)

Le choix des éléments R_1, R_2 et C permet de réaliser d'une façon indépendante les constantes de temps τ_1 et τ_2 . La pulsation propre ω_n est liée au gain de boucle K et à la constante de temps τ_1 par $\omega_n = \frac{K}{\tau_1}$

Filtre de boucle du type passe-

bas

Si le gain de boucle K est important et si l'on veut obtenir une pulsation ω_n relativement faible, on est conduit à réaliser une constante de temps τ_1 très grande. On ne trouve pas facilement, sous un encadrement assez réduit, des capacités C de qualité

suffisante pour réaliser une telle constante de temps, une solution peut être trouvée dans l'utilisation d'un filtre actif.

considérons le montage, représenté en figure 2.9 composé d'une résistance R_1 , montée en série avec un amplificateur opérationnel de gain-G (le signe - traduisant le fait que le signal de sortie est en opposition de phase par rapport au signal d'entrée). Un réseau composé d'une résistance R_2 et d'une capacité C est monté en contre-réaction sur l'amplificateur.

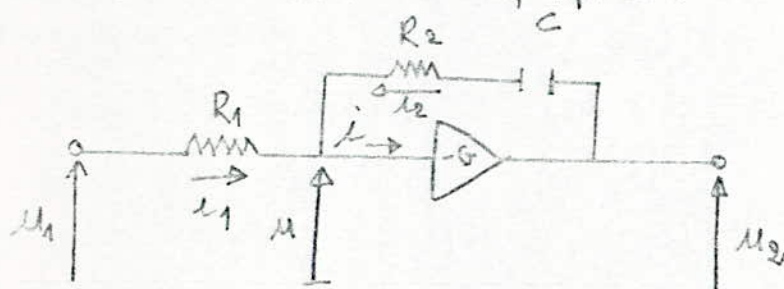


figure 2.9
filtre de boucle du type
actif

On appelle U la tension d'entrée de l'amplificateur et R_o sa résistance d'entrée, les équations permettant de représenter le fonctionnement du montage sont :

$$i_1 = (U_1 - U) / R_1$$

$$i_2 = (U_2 - U) / (R_2 + \frac{1}{j\omega C})$$

$$i = i_1 + i_2$$

$$U = R_o i$$

$$U_2 = -GU$$

en éliminant les courants, on obtient une relation entre les tensions :

$$\frac{U_1 - U}{R_1} + \frac{U_2 - U}{R_2 + \frac{1}{j\omega C}} = \frac{U}{R_o} \quad \text{d'où l'on tire :}$$

$$\frac{U_1}{R_1} = -GU \left[\frac{1}{R_2 + \frac{1}{j\omega C}} + \frac{1}{R_o} \left(\frac{1}{R_2} + \frac{1}{R_1} + \frac{1}{R_2 + \frac{1}{j\omega C}} \right) \right]$$

en supposant que l'impédance d'entrée de l'amplificateur est grande devant les impédances R_1 et $R_2 + \frac{1}{j\omega C}$, la fonction de transfert du réseau s'écrit :

$$F(j\omega) = \frac{U_1}{U} = \frac{-1}{R_1} \cdot \frac{1}{\frac{1}{R_2 + \frac{1}{j\omega C}} + \frac{1}{R_o} \left(\frac{1}{R_2} + \frac{1}{R_1} + \frac{1}{R_2 + \frac{1}{j\omega C}} \right)}$$

que l'on peut mettre sous forme :

17.

$$F(j\omega) = -G \cdot \frac{1 + j\omega R_1 C}{1 + j\omega (R_1 + G R_1 + R_E) C}$$

soit: $F(j\omega) = -G \cdot \frac{1 + j\omega \tau_2}{1 + j\omega \tau_1}$ équation(2.4)

$$\tau_2 = R_E C$$
$$\tau_1 = (R_1 + G R_1 + R_E) C$$

La fonction de transfert du filtre ainsi réalisé peut se mettre sous une forme analogue à celle d'un filtre passif, à la constante multiplicative $-G$ près.

Le gain en boucle ouverte, ou gain de boucle, K bénéficie de cette amplification et devient: $K = K_1 K_3 G$.

Deux cas peuvent se présenter:

Dans le Premier cas, le produit $K_1 K_3$ est insuffisant et l'on décide d'utiliser un filtre actif pour augmenter le gain de boucle K . La pulsation propre de boucle ω_n est de:

$$\omega_n^2 = \frac{K}{\tau_1} = \frac{K_1 K_3 G}{(R_1 + G R_1 + R_E) C}$$

si le gain G est suffisamment grand $\tau_1 \leq G R_1 C$ par conséquent.

$$\omega_n^2 \approx \frac{K_1 K_3 G}{G R_1 C} = \frac{K_1 K_3}{R_1 C}$$

Pour obtenir une pulsation propre ω_n donnée et pour un produit $K_1 K_3$ donné, il faut réaliser la même constante de temps $R_1 C$ que pour un filtre passif. On a gagné sur le gain de boucle, mais les difficultés de réalisation de la constante de temps τ_1 subsistent.

Remarque: si G est très grand:

$$F(j\omega) = -G \cdot \frac{1 + j\omega \tau_2}{1 + j\omega \tau_1} \approx -G \cdot \frac{1 + j\omega \tau_2}{j\omega G R_1 C} = \frac{1 + j\omega \tau_2}{j\omega C_1}$$

$$\tau_2 = R_E C, \quad \tau_1 = R_1 C.$$

CHAPIRE III

Équations Générales:

La boucle d'asservissement de phase est un dispositif qui permet d'obtenir un signal y_s issu d'un oscillateur modulable en fréquence (V.C.D) synchronisé du signal d'entrée y_e du dispositif. Pour des signaux y_e et y_s sinusoidaux, en l'absence de synchronisme, le signal de sortie du comparateur de phase à caractéristique sinusoidale est lui-même sinusoidal de fréquence égal à la différence de fréquence des signaux y_e et y_s . Pour cela il faut écrire les équations régissant le fonctionnement de chacun des éléments constitutifs du montage.

En particuliers la caractéristique des comparateurs de phase n'est pas linéaire. Il s'agit le plus souvent d'une fonction périodique de période 2π de la différence de phase instantanée entre les signaux qui lui sont appliqués. Mais puisque l'on cherche à réaliser un asservissement, c'est que l'on veut le faire fonctionner correctement. S'il fonctionne bien la différence de phase restera faible. Il sera alors possible de remplacer la caractéristique réelle du comparateur de phase par une caractéristique linéaire idéale (figue(3.1)) et l'asservissement sera alors défini par une équation différentielle linéaire.

Les équations correspondant au fonctionnement linéaire sont obtenues en substituant à la caractéristique réelle du comparateur de phase, une caractéristique idéale : une droite de pente K_2 égale à la pente de la caractéristique autour du point de fonctionnement, le signal de sortie est nul lorsque le déphasage vaut $\pi/2$ pour les comparateurs sinusoidaux et triangulaires et vaut π pour les comparateurs en "dents de scie". Par ailleurs, la pente K_2 de la caractéristique du comparateur autour du point de fonctionnement est positive ou négative. La caractéristique est une droite : $u_1 = K_2 \varphi$.

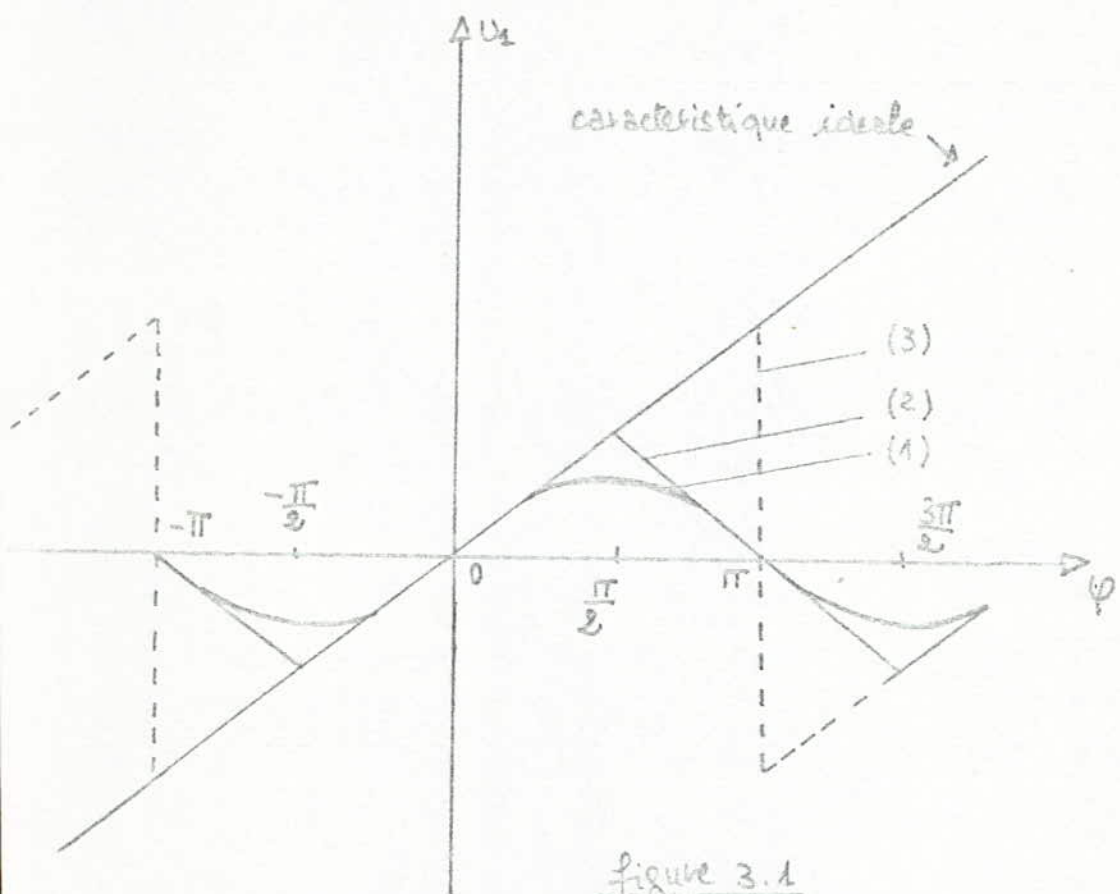


figure 3.1

caractéristiques de phase de différents types de comparateurs
de phase.

- (1): Sinusoïdal
- (2): Linéaire entre $(-\frac{\pi}{2}, +\frac{\pi}{2})$
- (3): Linéaire entre $(-\pi, +\pi)$

3.1 Equations temporelles générales pour une boucle utilisant un comparateur à caractéristique sinusoïdale:

considérons le schéma représenté en figure 3.2 pour lequel le signal d'entrée y_e et le signal issu du VCO y_s ont pour expressions :

$$y_e = A \sin[\omega t + \varphi_e(t)]$$

$$y_s = B \cos[\omega t + \varphi_s(t)]$$

Ces signaux ne sont pas forcément à la même pulsation, la différence de pulsation pouvant facilement être incluse dans $\varphi_e(t) - \varphi_s(t)$.

Le comparateur de phase utilisé est du type sinusoïdal et la tension de sortie u_i peut s'écrire : $u_i = K_1 \sin(\varphi_e(t) - \varphi_s(t))$ équation 3.1

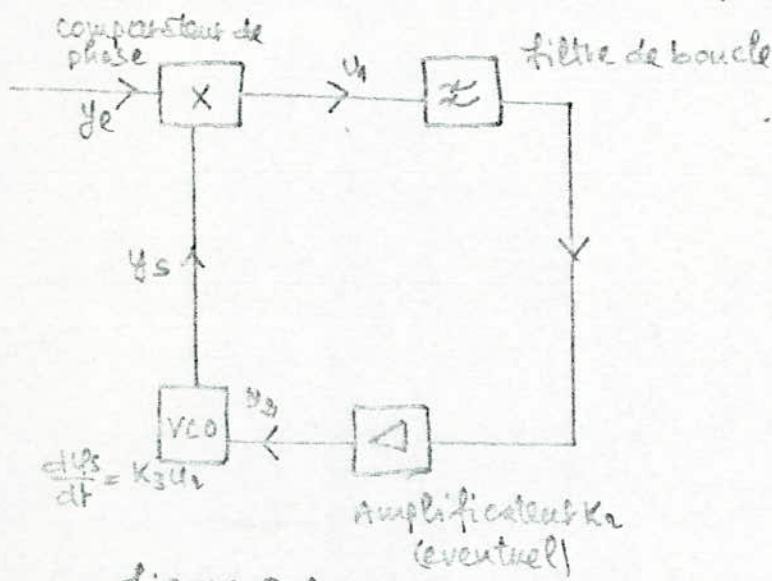


figure 3.2

Schéma général d'une boucle

d'accroissement de phase

La tension de sortie du filtre de boucle s'écrit, compte tenu d'une amplification éventuelle de gain K_2 ,

$$u_i = K_2 u_i(t) * f(t)$$

Le symbole $*$ représente le produit de convolution, c'est-à-dire que l'on peut écrire : $u_i(t) = K_2 \int_{-\infty}^{+\infty} u_i(z) f(t-z) dz$ équation (3.2)

enfin le VCO étant un oscillateur modulable en fréquence, si K_3 est sa sensibilité de modulation en rapport

$$\frac{dy_s}{dt} = K_3 u_i(t) \quad \text{équation (3.3)}$$

soit $f(z)$ la fonction de transfert du filtre de boucle est soit $f(z)$ sa réponse impulsionnelle. Ces deux fonctions sont transformées de Fourier l'une de l'autre.

La combinaison des équations 3.1, 3.2, et 3.3 permet d'obtenir l'équation temporelle générale régissant le fonctionnement d'une boucle utilisant un comparateur de phase du type sinusoidal:

$$\frac{d\psi_s}{dt} = K_1 K_2 K_3 [\sin(\Phi_e(t) - \Phi_s(t)) * f(t)]$$

Le produit $K_1 K_2 K_3$ est remplacé par $K = K_1 K_2 K_3$. La constante K représente donc le gain en boucle ouverte de l'asservissement. L'équation générale s'écrit:

$$\frac{d\psi_s}{dt} = K [\sin(\Phi_e(t) - \Phi_s(t)) * f(t)] \text{ équation 3.4.}$$

3.2. Équations linéaires générales :

La linearisation du problème consiste à supposer que la quantité $(\Phi_e(t) - \Phi_s(t))$ reste toujours suffisamment petite pour que l'on puisse remplacer le sinus par l'arc cosinus fondant, ceci conduit à l'équation temporelle linearisée générale:

$$\frac{d\psi_s}{dt} = K [\Phi_e(t) - \Phi_s(t)] * f(t) \text{ équation 3.5.}$$

Le produit de convolution est un opérateur assez peu maniable, essentiellement par manque d'habitude, on préfère généralement raisonner dans le domaine fréquentiel plutôt que dans celui du temps. Mais lorsque deux grandeurs sont liées par un produit de convolution, leurs transformées de Fourier sont liées par un simple produit. En prenant les transformées de Fourier de chacun des membres de l'équation 3.5 et en appelant $\Phi_e(j\omega)$ et $\Phi_s(j\omega)$ les transformées de Fourier de $\Phi_e(t)$ et $\Phi_s(t)$ on obtient:

$$j\omega \Phi_s(j\omega) = K [\Phi_e(j\omega) - \Phi_s(j\omega)] F(j\omega)$$

d'où l'on tire :

$$[j\omega + K F(j\omega)] \Phi_s(j\omega) = K \Phi_e(j\omega) \Phi_e(j\omega)$$

$$\text{soit : } H(j\omega) = \frac{\Phi_s(j\omega)}{\Phi_e(j\omega)} = \frac{K F(j\omega)}{j\omega + K F(j\omega)} \text{ équation 3.6}$$

La fonction $H(j\omega)$ est la fonction de transfert linearisée générale d'une boucle d'apérvissage de phase.

L'erreur de phase instantanée est donnée par :

$$\dot{\Phi}(j\omega) = \dot{\Phi}_e(j\omega) - \dot{\Phi}_s(j\omega)$$

On en déduit :

$$\frac{\dot{\Phi}(j\omega)}{\dot{\Phi}_e(j\omega)} = \frac{j\omega}{j\omega + Kf(j\omega)} \quad \text{équation 3.4}$$

La quantité $\frac{\dot{\Phi}(j\omega)}{\dot{\Phi}_e(j\omega)} = 1 - H(j\omega)$ est la fonction d'erreur de l'apérvissage.

Si l'on veut utiliser la notation opérationnelle, en appelant s la variable opérationnelle, on obtient pour la fonction de transfert :

$$H(s) = \frac{\dot{\Phi}_s(s)}{\dot{\Phi}_e(s)} = \frac{Kf(s)}{s + Kf(s)} \quad \text{équation 3.5}$$

tandis que la fonction d'erreur est donnée par :

$$1 - H(s) = \frac{\dot{\Phi}(s)}{\dot{\Phi}_e(s)} = \frac{s}{s + Kf(s)} \quad \text{équation 3.6}$$

CHAPITRE IV

Les boucles à verrouillage de phase numérique

Bien que la boucle de phase numérique soit basée sur un mode de verrouillage différent de celui utilisé dans la boucle analogique, les principes théoriques restent sensiblement similaires. La terminologie "boucle de phase numérique" est ambiguë, étant donné que le terme numérique peut être interprété de différentes manières. En effet dans certaines mesures, dénommer numérique une boucle de phase dont les signaux d'entrée et de sortie sont des états logiques. Dans ces circuits il peut être fait usage de fonctions analogiques telles que l'oscillateur contrôlé, le filtre de boucle etc...

Ces dernières années se sont développées des boucles de phase réalisées exclusivement à partir de fonctions numériques, c'est de ce type de circuit dont il sera question dans les lignes qui vont suivre.

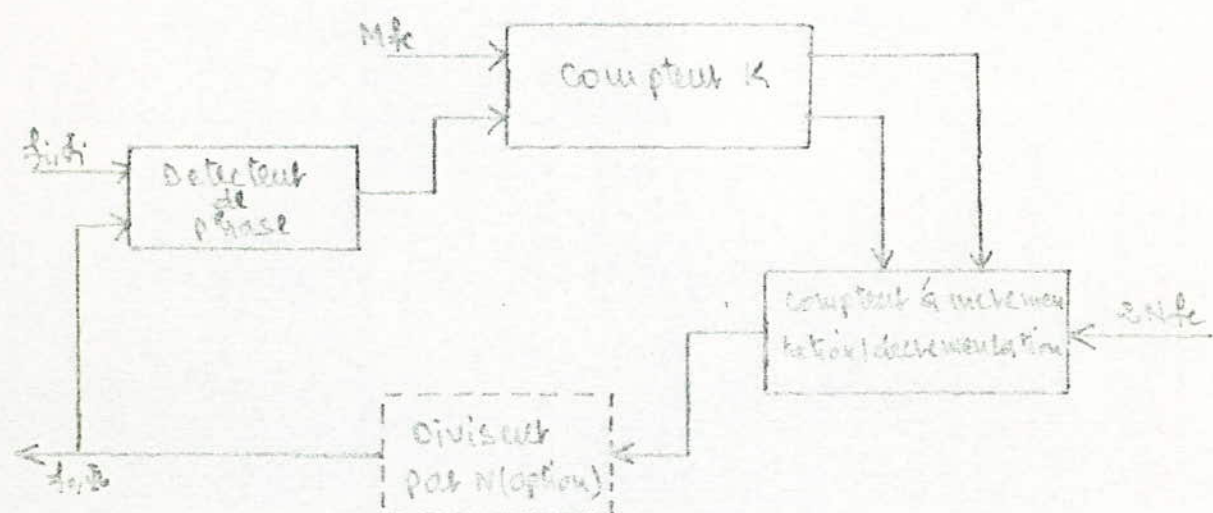


Figure 4.1

Structure générale d'une boucle de phase numérique.

4.1 Structure fonctionnelle

Une boucle de phase numérique du 1^{er} ordre comporte trois éléments fondamentaux : un détecteur de phase, un compteur "K" et un

compteur / décompteur I/O (figure 5.1).

Dans certaines applications, il est fait usage d'un composant complémentaire, à savoir un diviseur par N.

4.11. DéTECTEUR DE PHASE

Le détecteur de phase a pour fonction de comparer la phase du signal d'entrée ϕ_i avec celle du signal issu de la boucle ϕ_o . L'inégalité entre les phases des signaux d'entrée et de sortie a pour effet de générer un signal d'erreur $K_d \phi_e$, expression dans laquelle K_d représente le gain du détecteur de phase et ϕ_e l'écart de phase ($\phi_i - \phi_o$).

Dans un tel système, le détecteur de phase génère un signal d'erreur sous forme d'une onde carrière dont le rapport "cyclique" varie avec la phase. Hors des limites d'accrochage, la sortie du détecteur se trouve à l'état "0" soit à l'état "1", suivant que la fréquence du signal d'entrée est supérieure ou inférieure à la plage d'accrochage. En revanche, entre les limites f_{min} et f_{max} , le détecteur de phase délivre un signal dont la valeur moyenne varie linéairement avec l'écart de phase. $\bar{u} = k_d \phi_e$.

Il existe différents types de détecteurs de phase, le plus classique est sans nul doute le "ou" exclusif, l'autre étant le bistable à transitions dont la sortie change d'état sur une transition apparaissant sur l'une de ses entrées (figure 4-2).

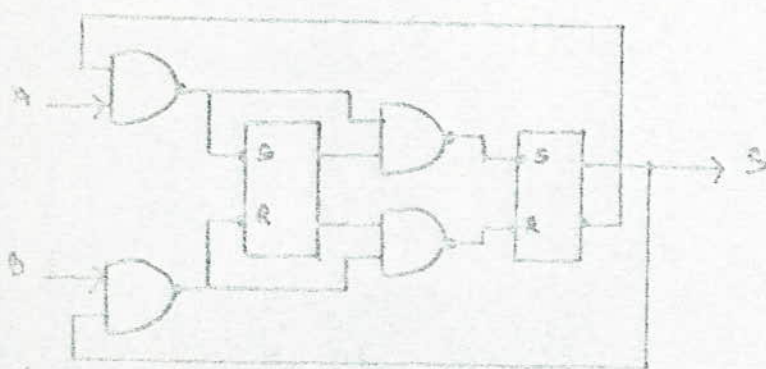


Figure 4-2

Schéma de principe d'un bistable à transitions et table de vérité des états.

A	B	S
X	*	1
*	X	0
X	*	stable
*	X	stable

(b)

X : état "0" ou "1"

* : transition "0" à "1"

* : si $u_1 = u_2$ "0" à "1"

la figure 4.3 montre les signaux de sorties pour les deux configurations citées lors que l'erreur de phase est nulle; en effet, lorsque cette condition est remplie, le rapport cyclique du signal de sortie est égal à 1/2. Dans le cas du bistable à transition, la différence de phase absolue entre le signal d'entrée s_1 et le signal de sortie du VCO s_2 est de $\pi/2$ période; elle représente un gain K_d de 2 et un écart de phase limite de $\pm 180^\circ$.

En revanche, avec le "ou" exclusif la différence de phase est limitée à $1/4$ de période. De ce fait, le gain K_d de ce type de détecteur de phase est de 4 et l'écart de phase est de $\pm 90^\circ$.

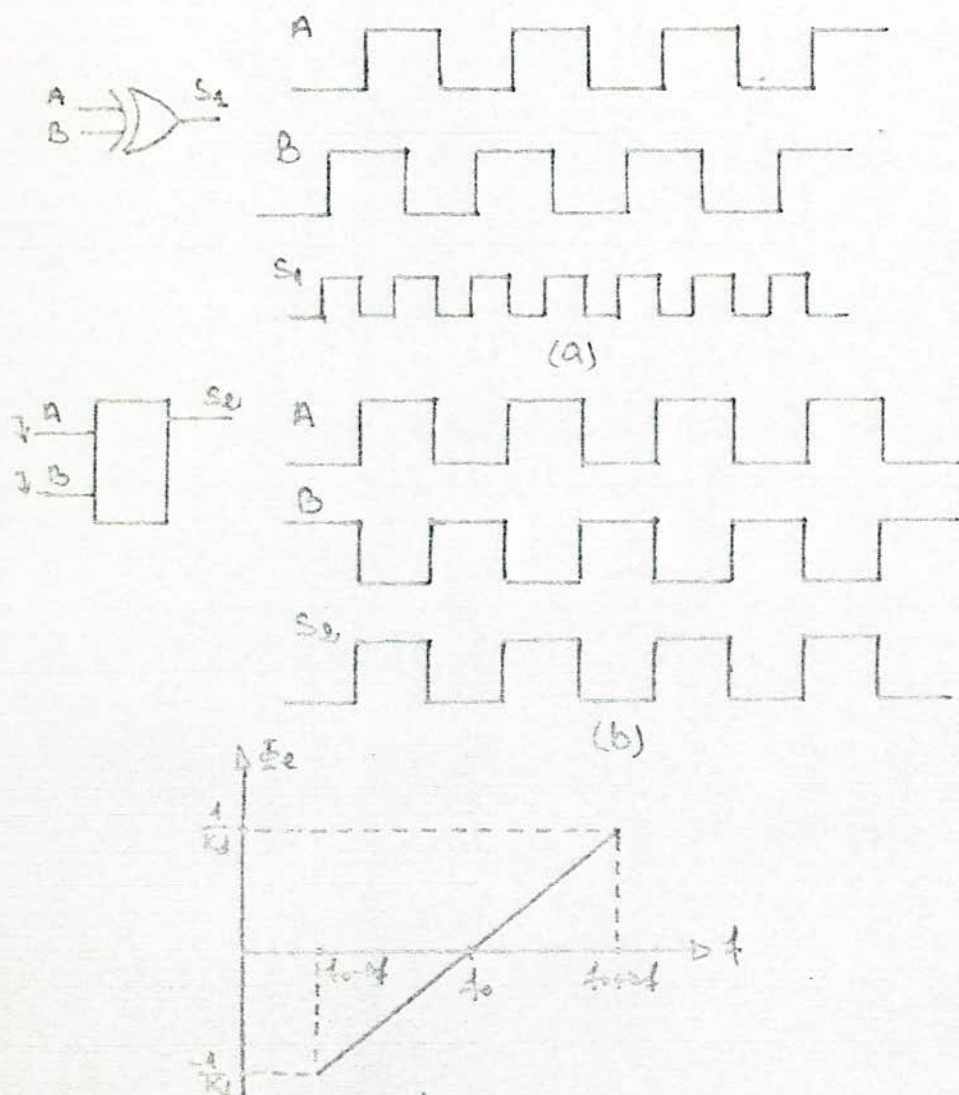


figure 4.3.

détecteur de phase: (a) "ou" exclusif, (b) bistable à transition
(c) fonction de transfert

4.2.2 Compteur K.

Le compteur K utilisé dans la boucle de phase numérique est un compteur programmable réversible, le facteur K représentant le module du compteur et pouvant être programmé au gré de l'utilisateur.

L'horloge pilotant l'étage est généralement un signal carré de fréquence f_{ref} , où f_{ref} représente la fréquence du signal de référence (figure 4.4). La sortie du détecteur de phase en l'occurrence un "ou" exclusif dans notre exemple, pilote l'entrée compte / décompte (UP/DN) lorsque le système opère avec une erreur de phase nulle, les deux signaux U_1 et U_2 sont exactement décalés de 90° l'un par rapport à l'autre, et la sortie du détecteur de phase livre un signal carré rigoureusement symétrique. De ce fait, le compteur compte et décompte durant un intervalle de temps identique.

Si la valeur de K est suffisamment élevée, le compteur ne pourra attendre ses vols de dépasser (raport et retenue). Cette condition ne peut être obtenue que si K est supérieur ou égal à 114 dans notre exemple.

Selection de K.

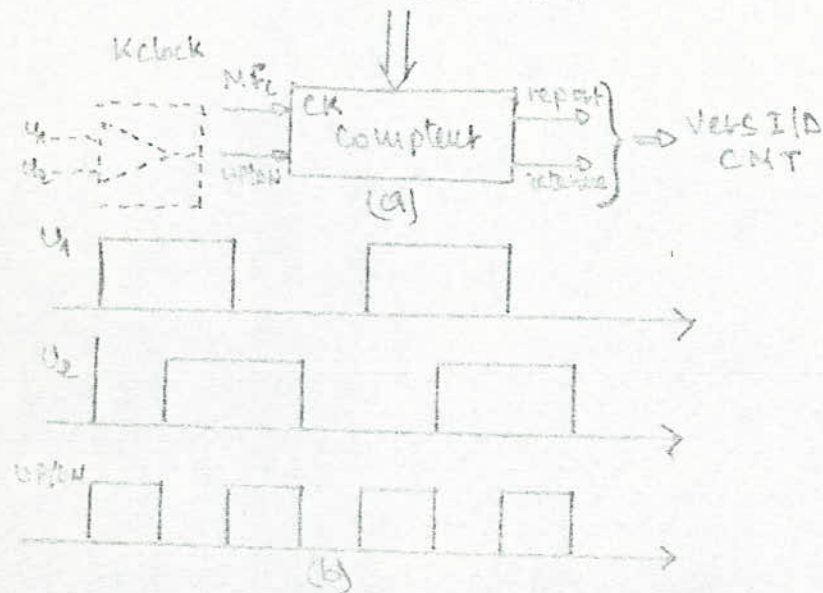


Figure 4.4 : Compteur K; en l'absence d'asymétrie des horloges.
si le signal d'entrée se décale par rapport à U_2 , le détecteur de phase livre un signal asymétrique.

Si par exemple U_1 est retardé par rapport à U_2 , le temps de compte

devient supérieur au temps de décompte, avec pour conséquence un dépassement de limite supérieure, ce qui a pour effet de gêner de temps en temps une impulsion sur la sortie report (carry). Dans le cas où U_0 est en avance, le processus est similaire, mais c'est la sortie retenue (borrow) qui livre une impulsion. Ces impulsions report et retenue peuvent être utilisées pour piloter un oscillateur numérique commandé par addition ou soustraction d'une fraction du train d'impulsions livré par un générateur de fréquence fixe. En d'autres termes les impulsions de report et de retenue sont utilisées pour modifier le facteur d'échelle d'un diviseur de fréquence, lui-même piloté par une source de fréquence. Il n'est guère aisé de déterminer la fonction de transfert H(s) pour ce type de filtre numérique, étant donné que son mode de fonctionnement n'est pas linéaire.

Lorsque l'erreur de phase est nulle, il ne livre pas de signal sur ses sorties. Pour une erreur de phase constante, il produit des impulsions de report et de retenue à fréquence constante.

4.2.3. Oscillateurs à commande numérique:

un oscillateur commandé numériquement, utilisé en conjonction avec un compteur K, est représenté à la figure 4.5.

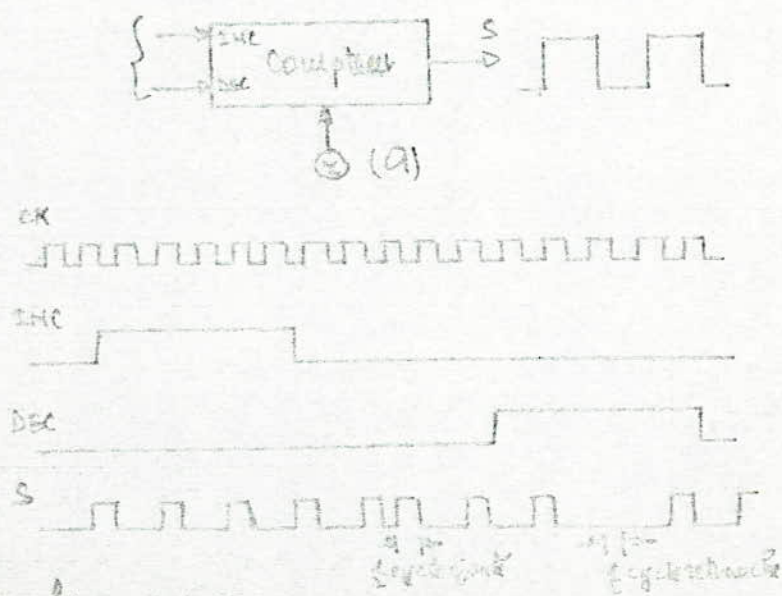


figure 4.5.

Oscillateur numérique (comme à la diagramme, 1000 d'ondes)

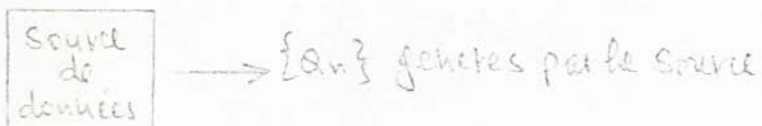
chaque fois qu'une impulsion apparaît à l'entrée INC, $\frac{1}{2}$ cycle est ajouté au signal de sortie par la logique interne (figure 4.5); de même à chaque impulsion sur l'entrée DEC $\frac{1}{2}$ cycle est soustrait. De ce fait, la fréquence de sortie du compteur I/D peut être commandée dans une plage déterminée par la fréquence maximale des impulsions reçues et retenue.

CHAPITRE II Modulation et démodulation F.S.K.

5.1 Modulation F.S.K.

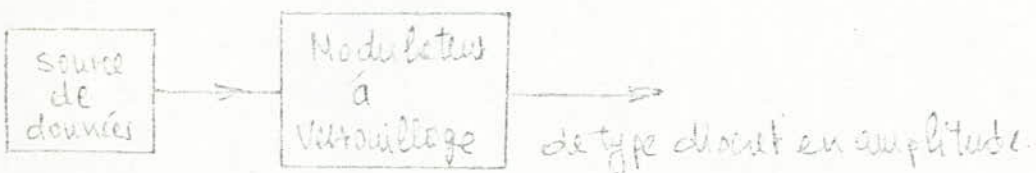
frequency shift keying (excitation en fréquences commutées).

Soit une source de données :



$\{S_n\} \in \{0,1\}$ signal unipolaire (suite de données en série)

$\{S_n\} \in \{-1,+1\}$ signal bipolarisé



Portante $f_0 \xrightarrow{\text{A.F.}} f_0 + \Delta f \rightarrow$ fréquences de sorties du modulateur

sont deux fréquences :

$f_1 = f_0 + \Delta f \rightarrow$ fréquence caractéristique supérieure

$f_2 = f_0 - \Delta f \rightarrow$ fréquence caractéristique inférieure

$0, 1 \ 1, 0, 1, 0, 0, \dots \rightarrow t$ l'information à envoier



on normalise les fréquences caractéristiques et les représentations électriques à l'échelle internationale (F.S.K. normalisée) avec un débit binaire b bits/s

le débit binaire étant le nombre de bits transmis par seconde

soit les niveaux "0" on peut attribuer la fréquence de 1700 Hz

les niveaux "1" on leur attribue la fréquence de 1300 Hz.

La fréquence de la porteuse est :

$$f_0 = 1500 \text{ Hz} \quad \text{et} \quad \Delta f = 200 \text{ Hz}.$$

pour des débits binaires $R \leq 1200 \text{ bits/s}$ (normalisé)

pour "0" $\rightarrow 2100 \text{ Hz}$

pour "1" $\rightarrow 1300 \text{ Hz}$

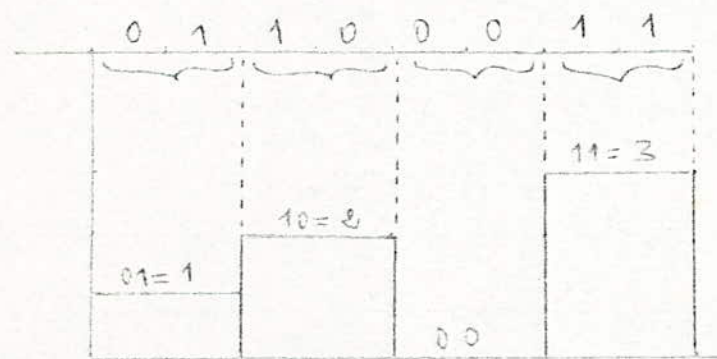
pour $f_0 = 1700 \text{ Hz}$ et $\Delta f = 400 \text{ Hz}$.

Vitesse de modulation

on cherche dans la représentation électrique l'élément qui se caractérise par la durée la plus courte.

$$V_m = \frac{1}{T_m} \quad \text{en binaire} \quad \text{rapidité de variation du paramètre.}$$

Le débit binaire caractérise la source ou le flux binaire
la vitesse de modulation caractérise le signal de modulation



si la source envoie le débit ci-dessus on considère dans ce genre de transmission une paire de bits. Dans ce cas on a besoin de 4 niveaux de représentation $V_m = \frac{1}{T_m}$, T_m = durée minimale.

C'est une transmission synchrone, dont on obtient un train d'impulsion à plusieurs niveaux.

La durée d'une impulsion définit le largeur de bande de fréquence nécessaire pour la transmission. La transmission est synchrone car il est nécessaire de connaître la base de temps qui contrôle le débit

bininaire, sans bâche de temps, ayant un niveau ou ne pourra pas passer s'il est unique ou non; ce qui entraîne une difficulté. Pour la récupération de l'information, on définit le relation :

$$R = V_m \log_2 w \quad \text{débit binaire en fonction de la vitesse}$$

w : nombre de niveaux dans le signal modulé

Si $w=4$ alors le nombre de niveaux est égal à 4.

La vitesse de modulation diminue deux fois par rapport au débit binaire.

on définit l'indice de modulation FSK

$$m_f = \frac{\Delta f}{V_m}$$

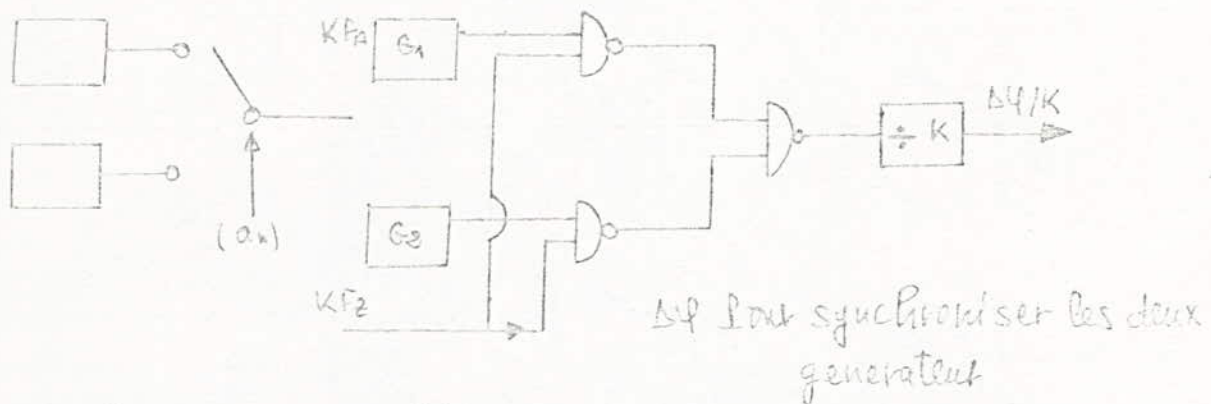


figure 51. modulateur FSK

on aura un saut de fréquence

si $f_1 = 1700\text{Hz}$, $f_2 = 1300\text{Hz}$, $V_m = 1200$

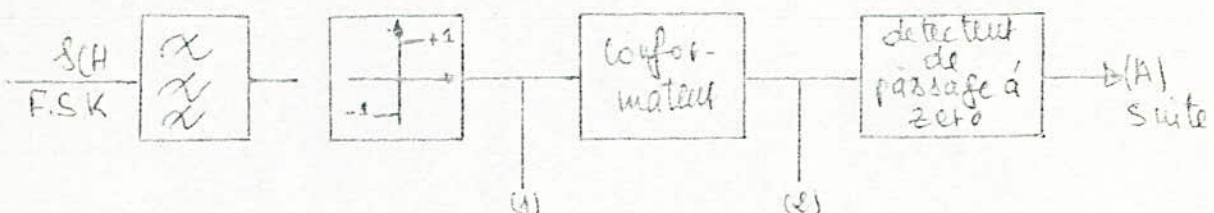
nous remarquons que f_1 et f_2 n'ont pas un rapport entier d'où la nécessité d'un diviseur de fréquence.

Nous pouvons réaliser d'une autre manière

$$\begin{array}{c} G \\ \xrightarrow{\div K_1} \\ \xrightarrow{\div K_2} \end{array} \quad \begin{aligned} f_x/K_1 &= f_1 = 1700\text{Hz} \\ f_x/K_2 &= f_2 = 1300\text{Hz} \end{aligned}$$

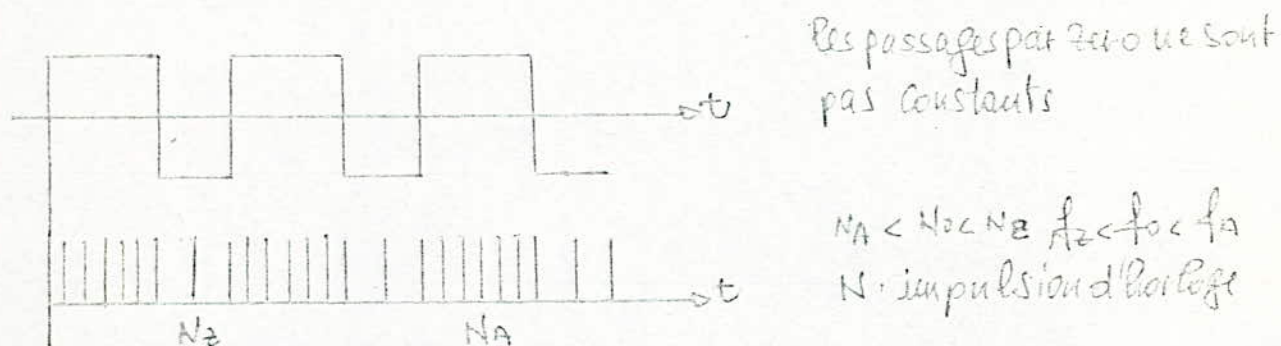
Dans ce cas on a pas de saut de phase, c'est-à-dire la phase continue

5.2. Demodulation FSK structure de type par comptage

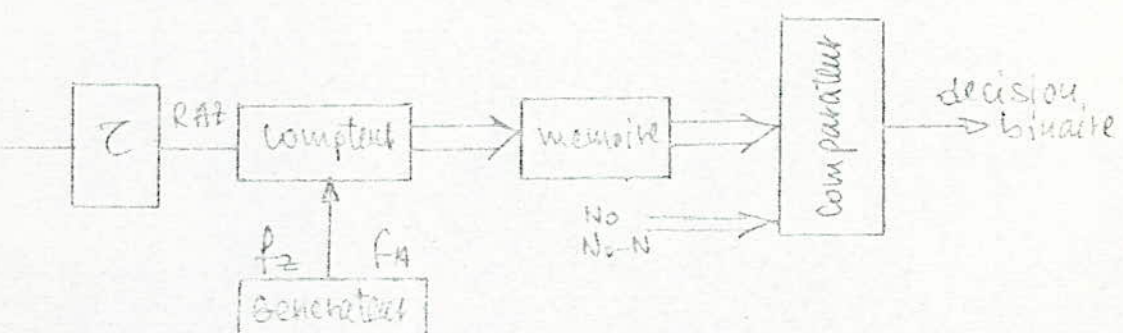


(2) adaptateur au niveau TTL

À la sortie du limiteur on a un signal carré ayant deux fréquences.



nous avons deux fréquences qui sont comparées à l'onde porteuse non modulée que l'on nomme fréquence supérieure et inférieure.



exemple : $N_A = 64 \quad 1000\ 0000$

$N_B = 84 \quad 1010\ 1000$

$N_A = 44 \quad 0101\ 1000$

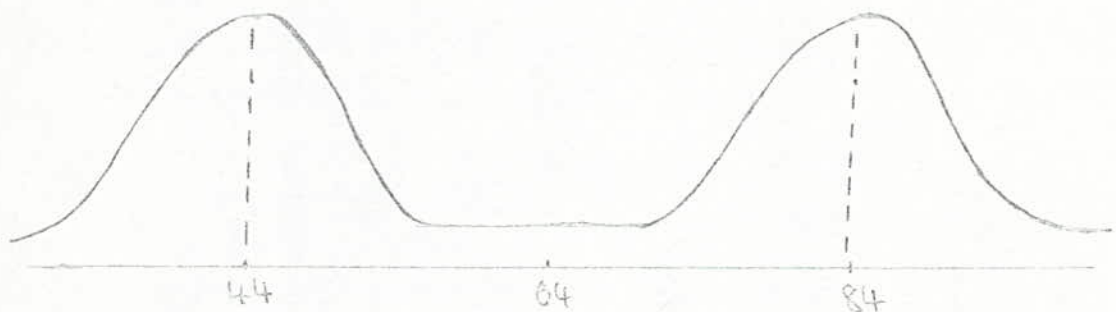
on peut ne pas utiliser le comparateur, car il suffit de comparer le bit de plus fort poids pour comparer les deux fréquences parce que tous les nombres ont le bit 4 égale à zéro, et ainsi on récupère toute

signal.

Il est possible de trouver N au voisinage de N_2 ou N_A . Ceci est du à l'ambiguïté.

De là, on définit le taux d'erreur comme :

$$\text{taux d'erreur} = \frac{\text{Nombre d'erreurs}}{\text{Nombre d'échantillons globale}}$$



Pour prendre la décision la plus probable, connaissant le taux d'erreur, on peut ne pas utiliser le comparateur.

L'erreur systématique qui apparaît sur la fréquence est donnée par f .

$$\text{on a : } \begin{aligned} f_A &= f_A + f & N_A &\rightarrow N_A + N \\ f_2 &= f_2 - f & N_2 &\rightarrow N_2 - N \end{aligned}$$

Cette erreur systématique peut être compensée en introduisant une comparaison $(N_0 - N)$ au lieu de N_0 .

Pour augmenter le débit binaire, il suffit d'augmenter le nombre de niveaux et quand R est élevé on a une bonne démodulation F.S.K.

CHAPITRE VI Réalisation.

I) Réalisation du montage

Notre travail consiste en la réalisation d'un démodulateur F.S.K avec boucle à verrouillage de phase pour signaux numériques avec les données suivantes :

$$1. f_0 = 1500 \text{ Hz}, \Delta f = 400 \text{ Hz} \Rightarrow f_{j1} = f_0 - \Delta f = 1300 \text{ Hz}$$

$$\text{des débits binaires } < 600 \text{ bits/s} \quad f_{j2} = f_0 + \Delta f = 1700 \text{ Hz}$$

$$2. f_0 = 1700 \text{ Hz}, \Delta f = 400 \text{ Hz} \quad f_{j1} = f_0 - \Delta f = 1300 \text{ Hz}$$

des débits binaires < 1200 bits/s $\Rightarrow f_{j2} = f_0 + \Delta f = 2100 \text{ Hz}$

Pour réaliser le démodulateur on a besoin de trois blocs :

* une boucle à verrouillage de phase pour signaux numériques qui travaille aux basses fréquences et qui a une plage de verrouillage et une plage de capture suffisamment larges ; elle doit contenir nos fréquences de travail :

1300 Hz et 1700 Hz pour $f_0 = 1500 \text{ Hz}$

et 1300 Hz et 2100 Hz pour $f_0 = 1700 \text{ Hz}$

C'est à dire pour la fréquence centrale $f_0 = 1300 \text{ Hz}$

$2f_L = f_{\max} - f_{\min}$ doit être au plus petit à 400 Hz. $2f_L > 400 \text{ Hz}$

Pour la fréquence centrale $f_0 = 1700 \text{ Hz}$

$2f_L = f_{\max} - f_{\min}$ doit être au plus petit à 800 Hz. $2f_L > 800 \text{ Hz}$.

$f_{\max} < f_0 \quad f_0 < f_L < f_{\max}$

$f_{\min} < f_0 \quad f_0 < f_L < f_{\max}$.

Le C 5404B vérifie ces conditions.

* un filtre de bruit passe-bas pour éliminer le maximum de bruit et donner le taux moyen de distorsion du signal issu du comparateur de phase qui sera appliquée à l'entrée du VCO on utilise pour cela un filtre actif passe-bas conçu sur autorouteur JN474L qui a de grandes performances.

* d'un convertisseur pour recevoir le signal de l'information

on utilise l'outils un comparateur de tension à amplificateur opérationnel (INA741) qui convient bien pour les signaux basses fréquences.

I.1. Réalisation de la branche à verrouillage de phase à l'aide du CD4046.

Le circuit intégré 4046 se compose d'une branche à verrouillage de phase comprenant un opérateur linéaire commandé en tension (V.C.O) et deux comparateurs de phase différents ayant un amplificateur d'entrée commune et une entrée de comparateur commun. Une diode régulateur (Zener) de 4V assure si il y a lieu, la régulation de la tension d'alimentation.

I.2. Description fonctionnelle.

a) Pathé V.C.O.

Le V.C.O nécessite un condensateur externe (C_1) et une ou deux résistances (R_1 ou R_2 et R_3). La résistance R_1 et le condensateur C_1 déterminent la plage de fréquence du VCO. La résistance R_2 permet au VCO des déviations de fréquences éventuelles.

L'impédance d'entrée élevée du VCO simplifie la conception des filtres passe-bas; elle offre un vaste choix de résistances et de condensateurs. Le porteur de l'étage suivant à la borne 10 (soufflet) permet de ne pas charger le filtre passe-bas. Si la borne 10 est utilisée, une résistance de charge (Rsf) doit être connectée entre cette borne et Vss. Si non elle doit être laissée libre.

la sortie du VCO (bonne 4) peut être connectée directement à l'entrée du comparateur (bonne 3) ou par l'intermédiaire d'un diviseur de fréquence. la présence d'un niveau bas à l'entrée d'initialisation (bonne 5) valide le VCO et l'étage suivant, tant que qu'un niveau haut les met tous les deux hors fonction pour réduire au minimum le courant de repos consommé.

Comparateur de phase.

L'entrée des signaux des comparateurs de phase (bonne 4) peut être couplée directement, à condition que l'excursion des signaux soit comprise dans les niveaux logiques standards d'entrée de la famille HE7404B. si les excursions sont inférieures (à ces niveaux) à ces niveaux logiques, les signaux doivent être couplés capacitivement à l'entrée de l'amplificateur à auto-polarisation. Le comparateur de phase (1) est un circuit "ou exclusif". les fréquences d'entrée des signaux et du comparateur doivent avoir un rapport cyclique de 50%. Pour obtenir la plage de verrouillage maximale, la tension de sortie moyenne du comparateur de phase est égale à $\frac{1}{2}V_{DD}$ en l'absence de signal ou de bruit à l'entrée des signaux. La tension moyenne à l'entrée du VCO est fournie par le filtre passe-bas connecté à la sortie du comparateur (1). Il en résulte que le VCO oscille à la fréquence centrale; la plage de capture (Δf_c) est définie comme étant la gamme de fréquence des signaux d'entrée dans laquelle le boucle à verrouillage de phase est verrouillé si elle n'est pas. La plage de verrouillage (Δf_v) est définie comme étant la gamme de fréquences pour laquelle le boucle reste verrouillé si elle l'était déjà.

$$\Delta f_c = f_{max} - f_{min}$$

La plage de capture est inférieure ou égale à la plage de verrouillage. Pour le comparateur (1), la bande de fréquence dans laquelle le boucle à verrouillage de phase peut se verrouiller (plage de capture) dépend des caractéristiques du filtre passe-bas, cette gamme pouvant être aussi large que la plage de verrouillage. Le comparateur (1) permet à la boucle à ver-

verrouillage de phase de rester verrouillé en dépit de la présence de bruits importants dans le signal d'entrée.

Une des réactions typiques de ce type de comparateur de phase est de se verrouiller sur des fréquences d'entrée proches des harmoniques de la fréquence centrale du V.C.O.

Un autre phénomène typique est que l'angle de phase compris entre l'entrée des signaux et l'entrée du comparateur varie de 0° à 180° et est égal à 90° pour la fréquence centrale. La figure 1 montre la caractéristique de la réponse typique entre phase et sortie.



(1): tension moyenne (sortie)

figure 1: différence de phase entre l'entrée des signaux et comparateur pour le comparateur (1)

La figure 2. montre les formes des signaux typiques d'un boucle à verrouillage de phase utilisant le comparateur de phase verrouillé sur f_0 .

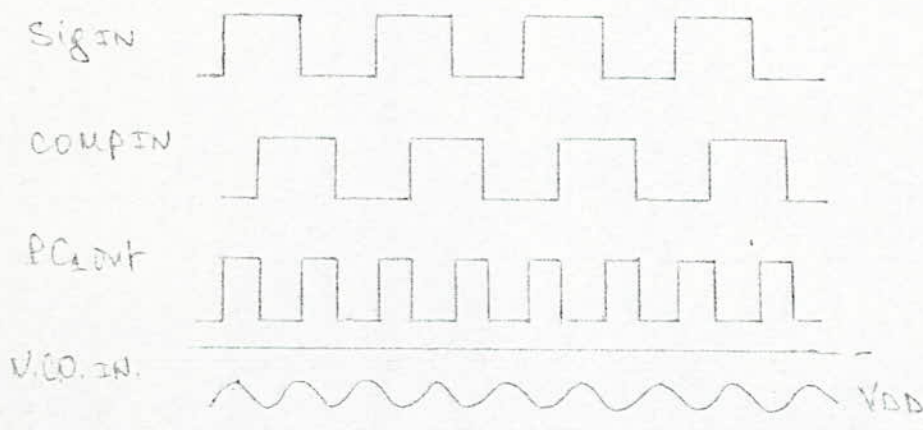


figure 2: formes typiques des signaux de la boucle à verrouillage de phase utilisant le comparateur (1) verrouillé sur f_0 .

3) Calcul des valeurs des composants.
- Sélection des composants du VCO.

D'après les documents de Motorola, nous avons :

$$f_{\min} = \frac{1}{R_2(C_1 + 32\mu F)}$$

$$f_{\max} = \frac{1}{R_2(C_1 + 32\mu F)} + f_{\min}$$

où $10k \leq R_1 \leq 1M\Omega$

$10k\Omega \leq R_2 \leq 1M\Omega$

$100\text{PF} \leq C_1 \leq 0,01\text{nF}$

formules établies avec une erreur de $\pm 2\%$

Dans notre cas on travaille avec les fréquences :

$$f_0 = 1500\text{Hz} \quad \Delta f = 200\text{Hz} \quad \text{d'où } f_1 = 1300\text{Hz} \text{ et } f_2 = 1700\text{Hz}$$

Pour avoir $f_0 = 1500\text{Hz}$ et une plage de démodulation et de capture qui englobe f_1 et f_2 on trouve expérimentalement qu'il faut prendre $C_1 = 6,8\text{nF}$, $R_2 = 320\text{k}\Omega$ et $R_1 = 280\text{k}\Omega$

on obtient avec ces valeurs :

$$f_{\min} = 1000\text{Hz} \quad \text{d'où une plage de démodulation } \Delta f = f_{\max} - f_{\min} = 1200\text{Hz}$$

$f_{\max} = 1800\text{Hz}$ qui est beaucoup plus large qu'on en a besoin par conséquent on aura un bon fonctionnement de la boucle et du démodulateur lors nos deux fréquences de travail $f_1 = 1300\text{Hz}$ et $f_2 = 1700\text{Hz}$

$$\text{pour } f'_0 = 1700\text{Hz} \quad \Delta f' = 400\text{Hz} \quad \text{d'où } f'_1 = 1300\text{Hz} \text{ et } f'_2 = 2100\text{Hz}$$

on garde les valeurs de $C_1 = 6,8\text{nF}$ et $R_1 = 280\text{k}\Omega$

et pour le coupleur $R_2 = 480\text{k}\Omega$

on trouve : $f_{\min} = 1200\text{Hz}$ d'où une plage de démodulation

$$f_{\max} = 1800\text{Hz} \quad \Delta f = 1100\text{Hz} \text{ qui nous suffit}$$

notons que ces résultats sont justes pour une fréquence de coupure du filtre de $f_C = 800\text{Hz}$ et qu'en changeant la fréquence de coupure les valeurs de R_2 changent pour avoir les mêmes résultats dans la réalisation on a pris $R_1 = 280\text{k}\Omega$ fixe

$$C_1 = 6,8\text{nF} \quad \text{fixe}$$

et pour le ou peut que résistance faire $R_e = 150 \text{ k}\Omega$ du plan avec un Potentiomètre de $500 \text{ k}\Omega$ (P).

Comme ça on peut régler les fréquences centrales aux valeurs 1500 Hz et 1700 Hz avec différentes fréquences de coupure du filtre et avoir dans chaque cas des plages de démodulation suffisamment larges en réglant uniquement le Potentiomètre (P).

La figure 4 montre le schéma de la boucle à démodulation de phase réalisée.

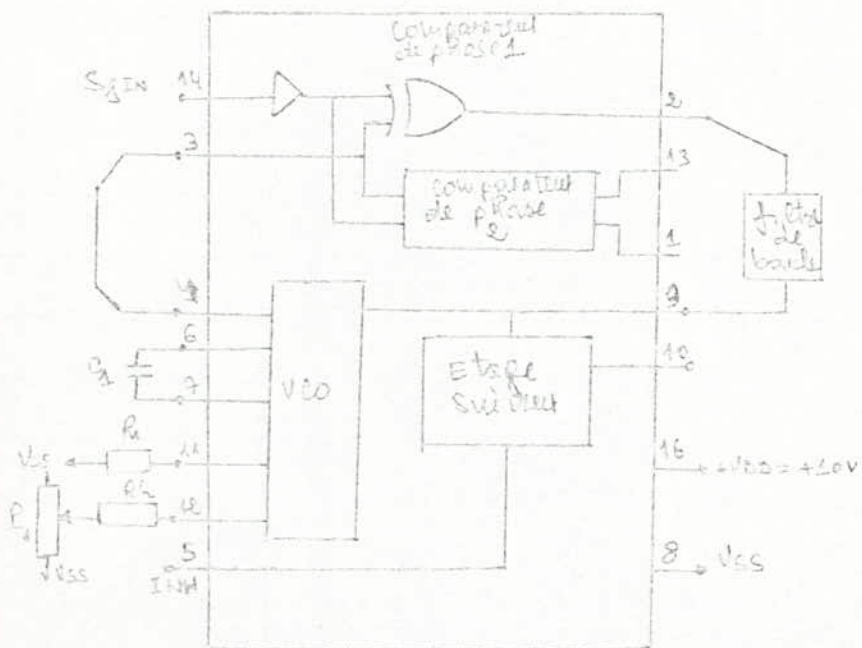


Figure 3 : boucle à démodulation de phase réalisée avec le 4046.

- Le comparateur de phase utilisé est le "ou exclusif" (E.C.I)
- La broche 10 n'est pas utilisée elle est au l'air.
- Le comparateur de phase (2) n'est pas utilisé
- Valeurs des composants extérieurs utilisés :

$$R_1 = 280 \text{ k}\Omega$$

$$R_e = 150 \text{ k}\Omega$$

$$P_1: 0 \rightarrow 500 \text{ mW}$$

$$G = 6,8 \text{ nF}$$

4) Le filtre de boucle.

on a choisi un filtre actif qui offre des performances plus grandes que celles d'un filtre passif. Il est couplé au transistor du SN741 comme le montre le schéma de la figure 5.

Pour simplifier l'expression de la fonction de transfert $f(\omega)$ on a choisi $C_2 = C_3 = C$ et $R_3 = R_4 = R$.

$$f(\omega) = \frac{1}{4RCP + 1 + 2RC^2P^2}, \quad f_{(3\omega)} = \frac{1}{4RC^2C + 1 - 2RC^2\omega^2}$$

sa fréquence de coupure est $f_c = \frac{1}{2\pi RC^2}$

le choix de la fréquence de coupure se fait de manière à avoir une bande passante aussi étroite que possible pour éliminer le maximum de bruit et les composantes variables du signal issu du comparateur de phase mais suffisamment large pour ne pas perturber dans l'antécédent et lui donner un bon fonctionnement. Donc le débit binaire choisi

en prenant $f_c = 600 \text{ Hz}$ on garantit un fonctionnement sans distorsions pour des signaux ayant un débit binaire $\leq 1000 \text{ bits/s}$. Pour des débits plus faibles on peut diminuer la fréquence de coupure du filtre mais il y a une limite à ne pas dépasser si non le fonctionnement de la boucle et par conséquent du démodulateur sera perturbé et il y aura des distorsions.

choix des composants donc $f_c = 600 \text{ Hz}$.

$$\text{En prenant } R_3 R_4 = R = 10 \text{ k}\Omega$$

$$\text{on a } C = \frac{1}{2\pi R f_c} = 18 \text{ nF} \quad \text{et } L = 38 \text{ nH}$$

- 4 -

on prend les valeurs normalisées suivantes :
 $C = C_3 = 2f\text{nf}$ et $C_0 = 2C = 4f\text{nf}$.

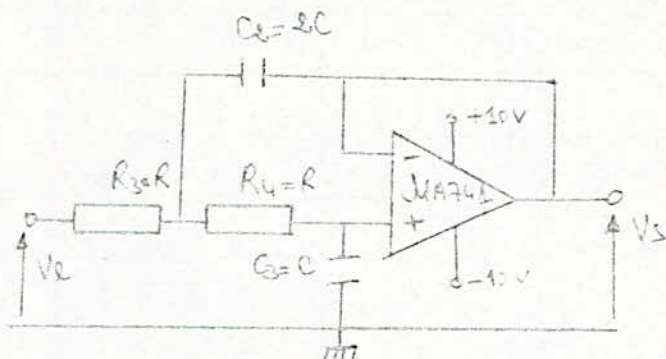


figure 4 le filtre de boucle

5) L'émetteur :

on utilise un comparateur de tension à amplificateur opérationnel ordinaire. Voit le schema ci-dessous.
les résistances de 10kΩ en plus avec chaque entrée sont destinées à compliquer les courants de polarisations
le potentiomètre (P_2) nous permet de régler la tension de référence.
notons que c'est un comparateur non inversant, l'entrée effectue par le biais (+)

donc lorsque $V_e < V_{ref}$ on a un état bas $V_s = V_{sat} = -10V$

lorsque $V_e > V_{ref}$ on a un état haut $V_s = V_{sat^+} = +10V$

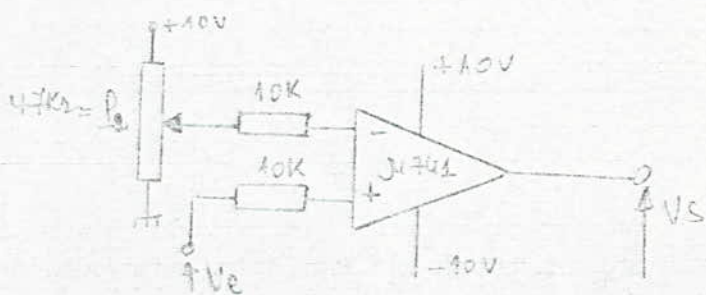


figure 5 Comparateur de tension non inversant.

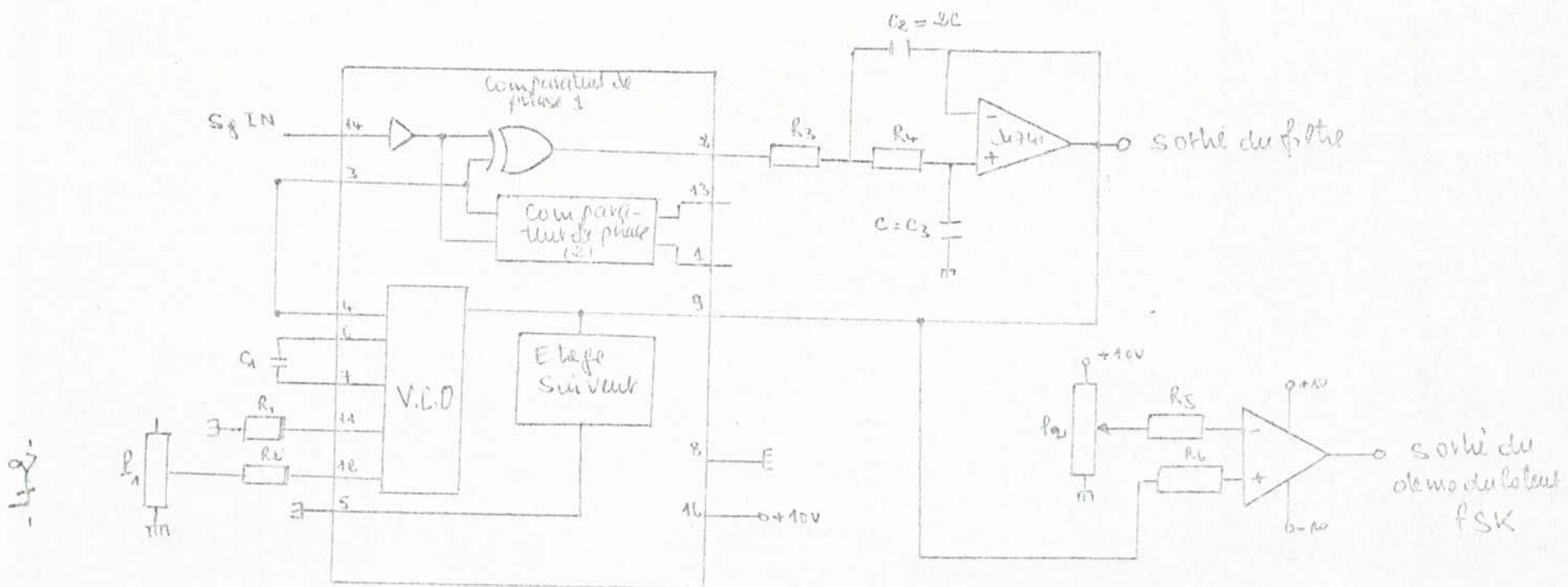


Figure 6 Schéma général du démodulateur fSK

Valeurs des composants utilisés

$$C_1 = C_8 \text{ nF}$$

$$R'_2 = 150 \text{ k}\Omega$$

$$P_1 : 500 \text{ k}\Omega$$

$$C_2 = 2C = 47 \text{ nF}$$

$$R_3 = R_4 = 10 \text{ k}\Omega$$

$$P_2 : 47 \text{ k}\Omega$$

$$C_3 = C = 22 \text{ nF}$$

$$R_5 = R_6 = 10 \text{ k}\Omega$$

$$R_1 = 380 \text{ k}\Omega$$

Relevé de la caractéristique du filtre pour $f_c = 600\text{Hz}$. $V_m = g(f)$

on prend le filtre peul et on lui applique un signal sinusoidal de valeur crête à crête égale à 4V, on fait varier la fréquence de ce signal et on mesure la tension à la sortie du filtre.
on a obtenu les valeurs du tableau (5)

f en Hz	V_s en Volt
2000	0,20
1000	0,40
900	1,04
800	1,3
700	1,60
600	2,80
500	2,75
400	3,50
300	3,75
250	3,80
200	4,00
150	4,00
100	4,00

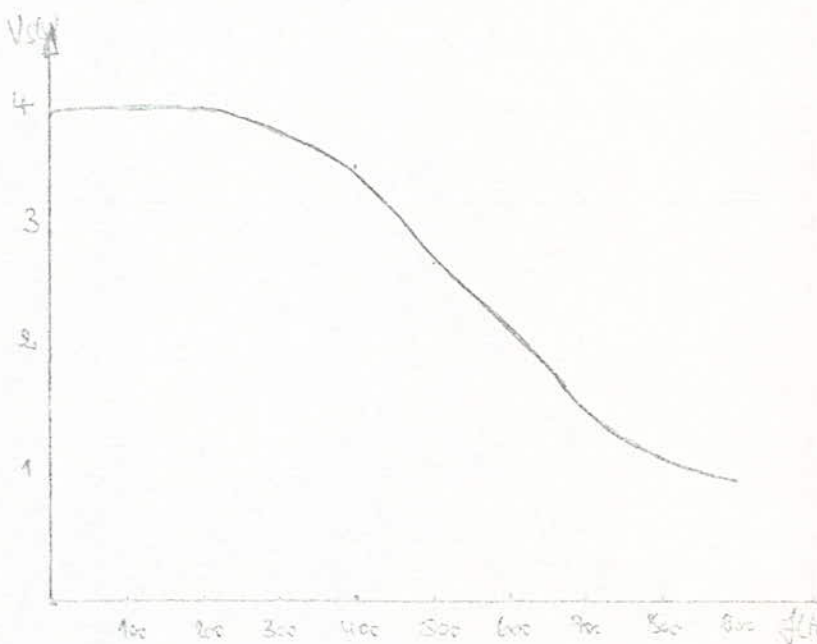


Tableau 5. Variation de
 V_s en fonction de f .

Figure 7 caractéristique du filtre $V_s = g(f)$
 $f_c = 600\text{Hz}$, $V_c = 4\text{V c.c.}$

comme le montre le tableau (5) et le courbe correspondante la tension à l'entrée du filtre est fortement atténue à partir de $f = 600\text{Hz}$
c'est la caractéristique d'un filtre passe-bas, qui laisse passer les fréquences basses et coupe les fréquences hautes ($> f_c$)

II) fonctionnement statique

on fixe la fréquence de coupure du filtre à 600Hz

on injecte à l'entrée du comparateur de phase un signal carte dont l'amplitude crête à crête est égale à celle du signal issu du V.C.O.

- on fixe la fréquence centrale du VCO à 1500Hz

ensuite on cherche en faisant varier la fréquence du signal d'entrée la gamme d'accrochage ($f_{\text{max}} - f_{\text{min}}$)

on fait varier la fréquence entre f_{min} et f_{max} par des sauts de 100Hz et on relève les caractéristiques suivantes :

- variation de la tension moyenne à la sortie du filtre

- variation de l'amplitude de ces ondulations.

Avec la fréquence du signal d'entrée

ensuite on prend la fréquence centrale du VCO égale à 1700Hz et on refait le même travail.

Après f_0 on change la fréquence de coupure du filtre et on refait le même travail.

Pour $f_C = 600\text{Hz}$ on a trouvé :

pour $f_0 = 1500\text{Hz}$

$$f_{\text{min}} = 300\text{Hz}, \quad f_{\text{max}} = 860\text{Hz}$$

d'où une plage de vétrovilloffe $\Delta f_e = f_{\text{max}} - f_{\text{min}} = 1300\text{Hz}$.

Pour $f_0 = 1700\text{Hz}$

$$f_{\text{min}} = 1100\text{Hz}, \quad f_{\text{max}} = 2400\text{Hz}$$

d'où une plage de vétrovilloffe $\Delta f_e = f_{\text{max}} - f_{\text{min}} = 1300\text{Hz}$.

II) variations de l'amplitude de la tension moyenne et de l'amplitude des ondulations de cette dernière en fonction de la fréquence d'entrée dans l'intervalle $[f_{\text{min}} - f_{\text{max}}]$

Pour $f_0 = 1500 \text{ Hz}$ on a relevé les valeurs du Tableau(1)
 Pour $f_0 = 1700 \text{ Hz}$ on a relevé les valeurs du tableau(e)

Fréquence du signal d'entrée en Hz	Tension moyenne à la sortie du filtre en volt	Valeur côte à côte de la tension moyenne en volt
900	1,5	0,46
1000	2,3	0,50
1100	2,8	0,48
1200	3,5	0,44
1300	4	0,42
1400	4,5	0,38
1500	5,1	0,32
1600	5,6	0,28
1700	6,4	0,24
1800	7	0,18
1900	7,3	0,15
2000	8,5	0,11
2100	9	0,09
2200	9,8	≈ 0

Tableau(1) Variation de V_m et de sa valeur côte à côte en fonction de f pour $f_0 = 1500 \text{ Hz}$, $f_c = 600 \text{ Hz}$.

frequencé du signal d'entrée en Hz	Tension moyenne en volt $V_m(v)$	Valeur de $V_m(v)$ en volt
1100	1,60	0,30
1200	2,10	0,35
1300	2,90	0,34
1400	3,60	0,33
1500	4,20	0,30
1600	4,70	0,27
1700	5,20	0,25
1800	5,80	0,22
1900	6,70	0,20
2000	7,25	0,15
2100	7,90	0,13
2200	8,40	0,10
2300	9,1	0,05
2400	9,8	≈ 0

Tableau (2) Variation de V_m et de sa valeur de nôtre à cette
en fonction de f_1 pour $f_b = 1700$, $f_c = 600$ Hz.

comme on le voit dans les tableaux (1) et (2) la tension moyenne à la sortie du filtre varie avec la fréquence du signal d'entrée elle croît quand cette dernière croît elle est pratiquement une fonction linéaire de la fréquence d'entrée et ceci bien sûr dans le gamme de Vervonville (f_{max}-f_{min}) pour f₀ = 1500 Hz elle passe de la valeur de 1,5 v à la valeur de 9,8 v quand la fréquence varie de f_{min} = 900 Hz à f_{max} = 2200 Hz pour f₀ = 1700 Hz.

elle passe de la valeur de 1,6 v pour f=f_{min} = 1100 Hz à la valeur de 9,8 v quand la fréquence atteint sa valeur maximale f_{max} = 1700 Hz.

on voit dans les tableaux (3) et (4) que l'amplitude des ondulations varie aussi avec la fréquence du signal d'entrée au début elle croît ensuite elle décroît quand la fréquence augmente dans le gamme de Vervonville.

Pour f₀ = 1500 Hz.

L'amplitude des ondulations a la valeur de 0,46 pour f=f_{min} = 900 Hz elle croît jusqu'à la valeur de 0,50 pour f=f_{max} = 2200 Hz ensuite elle commence à décroître à partir de cette valeur et s'annule pour f=f_{max} = 2200 Hz.

Pour f₀ = 1700 Hz

L'amplitude des ondulations varie de 0,30 à 0,35 v la suite de 0,35 v à 0 quand la fréquence varie de f=f_{min} = 1200 Hz à f=f_{max} = 2400 Hz.

Variation de la fréquence des ondulations avec la fréquence la fréquence des ondulations varie presque linéairement avec la fréquence du signal d'entrée elle augmente quand cette dernière varie de f=f_{min} = 900 Hz à f=f_{max} = 2200 Hz.

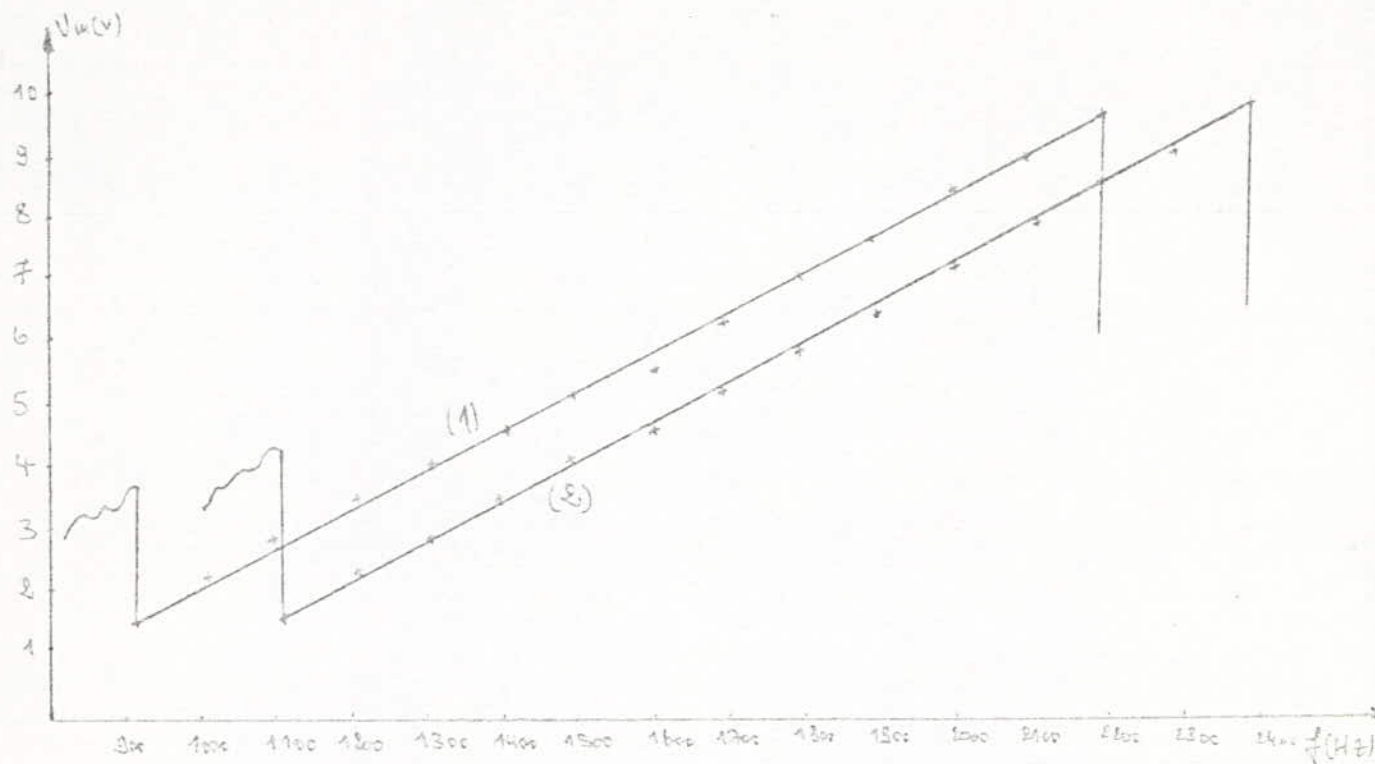


figure 8

Variation de l'amplitude de la tension moyenne en fonction de la fréquence du signal d'entrée pour la fréquence de coupure du filtre $f_c = 600 \text{ Hz}$
la courbe (1) pour la fréquence centrale du VCO $f_0 = 1500 \text{ Hz}$
la courbe (2) pour la fréquence centrale du VCO $f_0 = 1700 \text{ Hz}$.

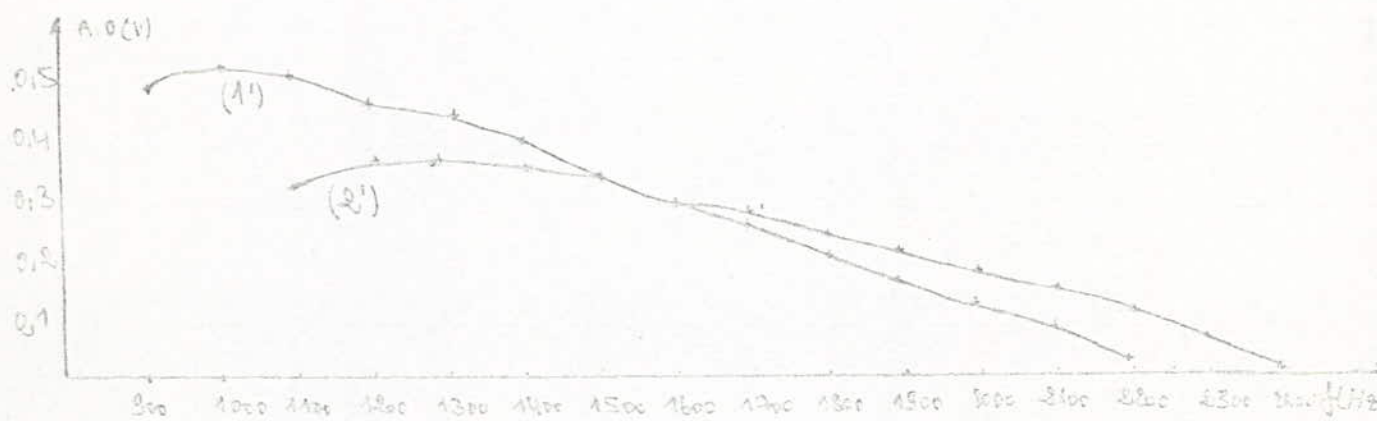


figure 9

Variation de l'amplitude des ondulations de la tension moyenne en fonction de la fréquence du signal d'entrée pour $f_c = 600 \text{ Hz}$.
(1) pour la fréquence centrale du VCO $f_0 = 1500 \text{ Hz}$.

(2) Pour la fréquence centrale du VCO $f_0 = 1700 \text{ Hz}$.

Maintenant on change la fréquence de coupure du filtre
on prend $f_c = 300 \text{ Hz}$

et on relève les caractéristiques comme pour $f_c = 600 \text{ Hz}$.

pour $f_0 = 1700 \text{ Hz}$ on a relève les valeurs du tableau (3)

Pour $f_0 = 1500 \text{ Hz}$ on a relève les valeurs du tableau (4)

fréquence du signal d'entrée en Hz	amplitude moyen ne V_m en volt	valeur atteinte à creux de V_m en volt
1000	1,05	0,48
1100	1,6	2,6
1200	2,1	3,1
1300	3,1	4,0
1400	3,6	5,0
1500	4,4	5,7
1600	4,8	6,5
1700	5,1	6,4
1800	5,5	5,6
1900	6,1	5,2
2000	6,6	4,3
2100	7,1	3,1
2200	7,4	2,3
2300	8,5	1,8

Tableau (3) Variation de V_m et de sa valeur atteinte à creux
en fonction de la fréquence du signal d'entrée
pour $f_c = 300 \text{ Hz}$ et $f_0 = 1700 \text{ Hz}$.

frequence du signal d'entrée en Hertz	tension moyenne du en volt	valeur critique de U _m en volt
$f_{min} = 800$	1,15	0,64
$f = 900$	1,70	2,80
1000	2,20	3,30
1100	3,20	4,20
1200	3,70	5,25
1300	4,50	5,85
1400	4,90	6,65
1500	5,20	6,50
1600	5,60	5,80
1700	6,20	5,45
1800	6,70	4,55
1900	7,20	3,24
2000	7,50	2,48
2100	8,60	1,12

Tableau (4) Variation de U_m et de la valeur de l'âge critique en fonction de la fréquence du signal d'entrée pour $f_c = 300\text{Hz}$ et $f_0 = 1500\text{Hz}$.

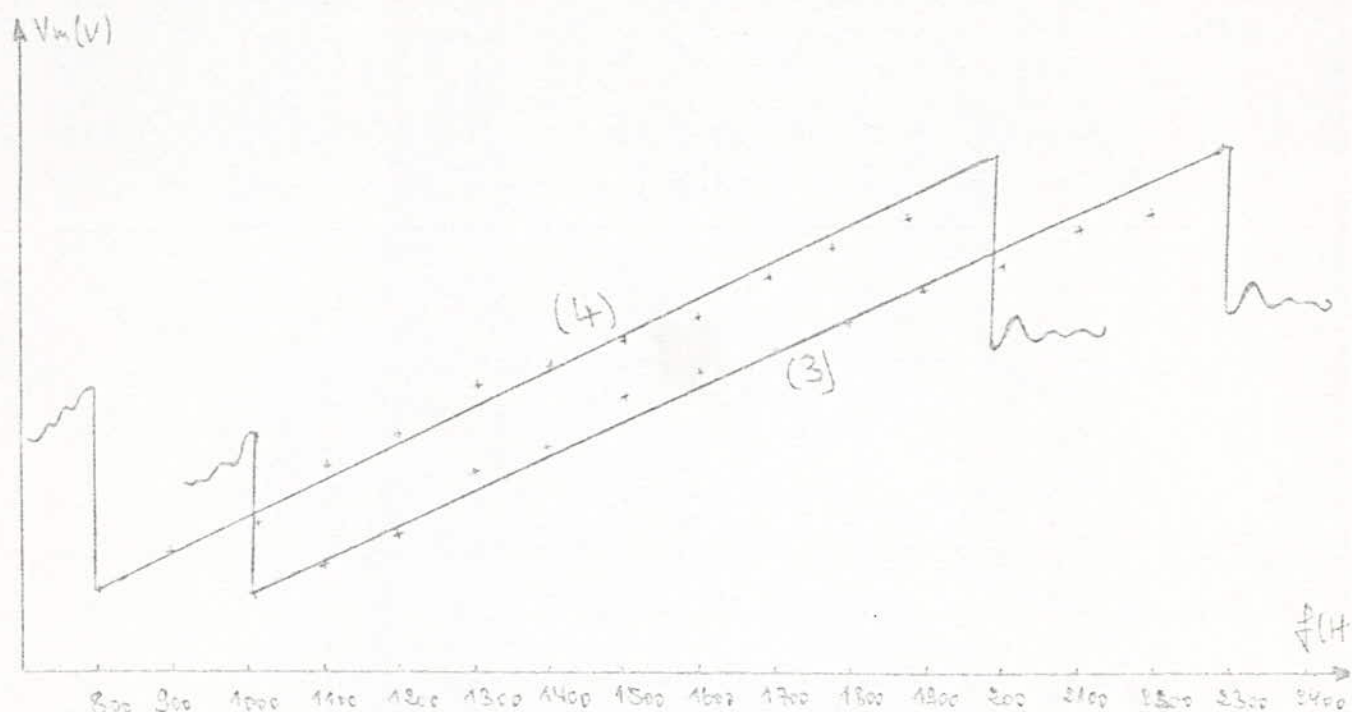


Figure 10

Variation de l'amplitude de la tension moyenne en fonction de la fréquence du signal d'entrée pour le fréquence de coupure $f_c = 300\text{Hz}$.
(3) pour la fréquence centrale du VCO $f_c = 1700$
(4) pour la fréquence centrale du VCO $f_c = 1500\text{Hz}$

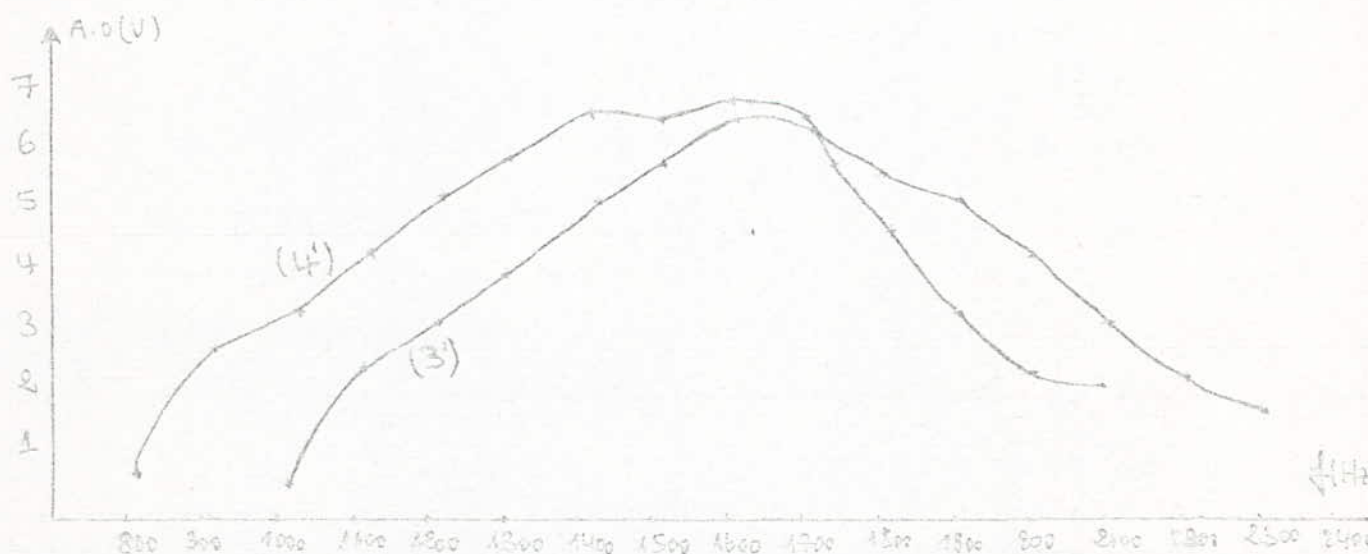


Figure 11

Variation de l'amplitude des ondulations de la tension moyenne

en fonction de la fréquence du signal d'entrée pour $f_c = 300\text{Hz}$
(3') pour la fréquence centrale du VCO $f_o = 1700\text{Hz}$
(4) Pour la fréquence centrale du VCO $f_o = 1500\text{Hz}$

Comme le montrent les tableaux (3) et (4) et les courbes (3) et (4)
la tension moyenne à la sortie du filtre varie en fonction de la
fréquence du signal d'entrée ; elle croît quand cette dernière croît
dans l'intervalle de verrouillage comme pour le cas où $f_c = 600\text{Hz}$
ce qui est différent et qui queut les valeurs minimales et
maximales de la fréquence et les tensions correspondantes, mais
l'intervalle de verrouillage reste sensiblement le même ; il est de
1300Hz pour $f_c = 600\text{Hz}$ et $f_c = 300\text{Hz}$.

De même l'amplitude des ondulations varie avec la fréquence
du signal d'entrée comme pour $f_c = 600\text{Hz}$ elle croît au début
ensuite elle décroît quand la fréquence varie de f_{min} à f_{max}
par contre les variations de l'amplitude des ondulations sont
plus importantes pour $f_c = 300\text{Hz}$.

Cette amplitude varie de 0,64V à 6,65V puis décroît à 2,28V
quand la fréquence varie de f_{min} à f_{max}
pour $f_o = 1700\text{Hz}$

elle varie de 0,48V à 6,5V puis décroît jusqu'à 1,8V
quand la fréquence passe de sa valeur minimale à sa valeur
maximale.

Notons aussi la variation de la fréquence des ondulations de
la tension moyenne qui augmente avec la fréquence d'entrée que
ce soit avec $f_c = 600\text{Hz}$ ou $f_c = 300\text{Hz}$.

Variation de la tension de portée du démodulateur.
dans tous les cas que ce soit $f_c = 600\text{Hz}$ ou 300Hz pour
 $f_o = 1500\text{Hz}$ ou $f_o = 1700\text{Hz}$ la portée du démodulateur

varie comme suit:

- On a un état bas pour des fréquences inférieures à la fréquence centrale du VCO
 - On a un état haut pour des fréquences supérieures à la fréquence centrale du VCO.
- d'après l'étude précédente on peut résumer ce qui suit.
- La tension moyenne à la sortie du filtre est une fonction linéaire de la fréquence du signal d'entrée dans le plage d'accroche
 - L'amplitude des ondulations de la tension moyenne varie aussi avec la fréquence d'entrée, elle augmente au début ensuite elle diminue quand la fréquence d'entrée varie dans l'intervalle de l'accroche ($f_{\max} - f_{\min}$)
 - La fréquence des ondulations change avec la fréquence du signal d'entrée elle croît avec cette dernière toujours dans la plage d'accroche.
 - à la sortie du module de temps on a:
 - un état bas pour des fréquences comprises entre la fréquence minimale et la fréquence centrale du VCO $f_{\min} < f < f_0$
 - un état haut Pour des fréquences comprises entre la fréquence centrale du VCO et la fréquence maximale $f_0 < f < f_{\max}$
- notons qu'on trouve ces résultats uniquement lorsque la fréquence de coupure du filtre n'est pas trop éloignée de la fréquence centrale du VCO si la fréquence de coupure du filtre est un peu très faible ou très grande on ait de f_0 on retrouve plus ces rebondissements et le fonctionnement de la boucle sera altéré. Il y aura des distorsions et même la cessation de l'accroche de la boucle.

III fonctionnement dynamique.

Pour le fonctionnement dynamique de notre démodulateur on a besoin d'un signal numérique modulé en fréquence donc d'un modulateur de signaux numériques.

On a donc un modulateur à l'aide du circuit intégré TTL le 74LS00, qui est constitué de 4 portes Nand et ce circuit est suivi d'un comparateur de tension réalisé avec le J4A741 suivant le rôle d'interface pour adapter les niveaux TTL aux niveaux CMOS. Notre modulateur nécessite trois générateurs de signaux sorties à sortie TTL : un générateur des données, les deux autres pour les signaux modulants aux fréquences f_1 et f_2 .

Le schéma du modulateur est celui de la figure 1e

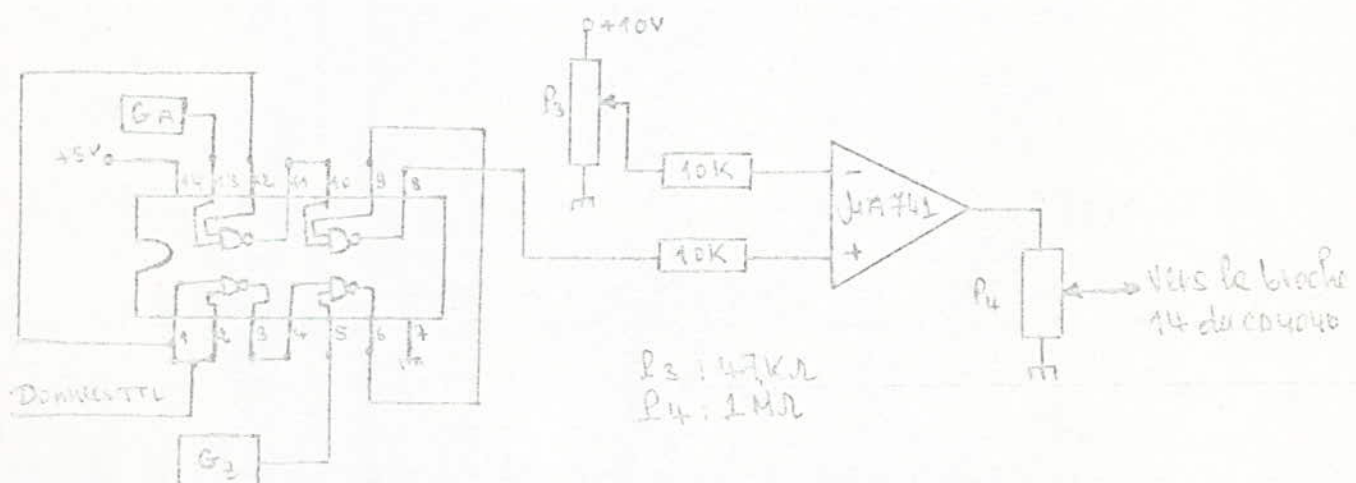


Figure 1e : schéma du modulateur FSK et de son interface

Aux entrées reliées entre elles de la 1^{re} Nand on applique le signal des données TTL (broche 1 et 2) à la broche 5 qui est une des deux entrées de la 2^{me} Nand on applique le signal à la fréquence supérieure (f_2) et à la broche 13 qui est une des entrées

Des sorties de la 3^{ème} Nand on applique le signal à la fréquence inférieure (f_1) comme le montre le schéma de la figure 1e.

III.1. Vérification du fonctionnement du modulateur

on applique le signal des données et les signaux aux fréquences, par exemple $f_1 = 13\text{coHz}$ et $f_2 = 1700\text{Hz}$ et on visualise les signaux aux différentes broches du circuit 74LS00.

- broches (4,9,12)
signal des données
- broche 5
signal à la fréquence f_2
- broche 13
signal à la fréquence f_1
- broches (6,8)
signal module par f_2
(l'état bas)
- broche (10,11)
signal module par f_1
(l'état haut)
- broche 8
signal des données module alternativement par f_1 et f_2

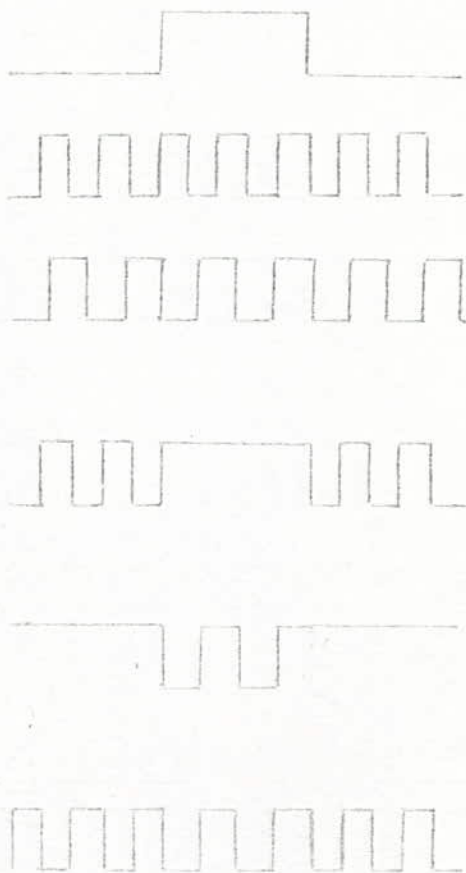


Figure 13. Oscilloscogrammes des différents signaux

Les différents oscilloscogrammes montrent comment s'effectue

la modulation du signal des données par les signaux de Gnd b2.

III.8. vérification du fonctionnement dynamique du démodulateur
a) pour $f_c = 1500 \text{ Hz}$ $\Delta f = 200 \text{ Hz}$.

d'où $f_1 = 1300 \text{ Hz}$ et $f_2 = 1700 \text{ Hz}$.

on règle la fréquence centrale du V.C.O à 1500 Hz
les fréquences des générateurs : G1 à 1300 Hz

G2 à 1700 Hz

et on applique le signal de portée du modulateur (broche 8 du 74LS00) à travers l'interface à l'entrée du compaeteur de phase (broche 14 du CD4046), et on visualise les oscillations aux broches privées :

- broche 4 : portée du VCO on obtient un signal modulé comparable à celui de la broche (14)
le VCO oscille alternativement aux fréquences fréf et fe.
- à la portée du filtre
la tension moyenne varie alternativement entre deux valeurs de 4 et 6,4V
- à la portée du démodulateur : un signal casse comme ceux des données quand on fait varier la fréquence de ces données
la fréquence du signal de sortie du démodulateur varie au même rythme.

on trouve ces résultats convenablement, pourtant pour les débits faibles

b) Pour $f_c = 1700 \text{ Hz}$ $\Delta f = 400 \text{ Hz}$

d'où $f_1 = 1300 \text{ Hz}$ et $f_2 = 2100 \text{ Hz}$.

maintenant on règle la fréquence centrale du VCO à 1700 Hz
et la fréquence du générateur G2 à 2100 Hz .

et on visualise les signaux aux points précédents
on obtient des résultats similaires.

on retrouve le signal des données à la sortie du démodulateur
pour des débits faibles.

Conclusion.

D'après l'étude qui vient d'être faite on peut tirer les conclu-
sions suivantes.

- les boucles à verrouillage de phase peuvent être utilisées avec succès pour le démodulation FSK pour des débits faibles.
- leur inconvénient majeur réside dans la faiblesse de leur plage de verrouillage ce qui limite leur utilisation.
- leurs performances sont liées au filtre de boucle
- les oscillations de la tension de portée du filtre gèrent le bon fonctionnement du démodulateur surtout lorsque leur amplitude est importante il devient très difficile si non impossible de récupérer le signal de l'information.

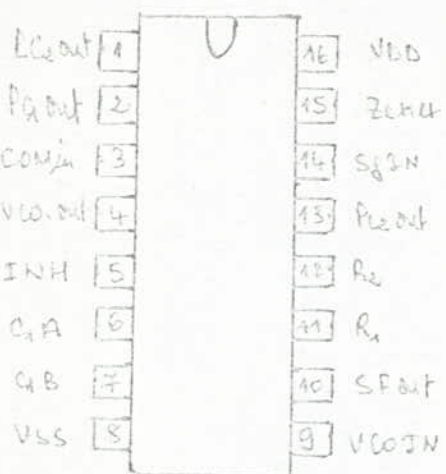


figure 14: brochage du 4046

1. sortie (1) du comparateur (2)
2. sortie du comparateur (1)
3. entrée des comparateurs (1,2)
4. sortie du VCO
5. entrée d'inhibition
6. connexion A du comparateur (1)
7. connexion B du comparateur (1)
8. Vss = masse
9. entrée du VCO
10. sortie de l'étage suivant
11. connexion de la résistance R
12. connexion de la résistance R
13. sortie(s) du comparateur (2)
14. entrée des signaux
15. connexion de la diode ZENA
16. broche d'alimentation.

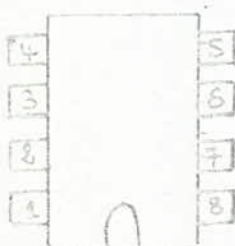


figure 15: brochage du 4044

- 1, 5, 8 pour l'équilibrage
2. entrée inverseuse
3. entrée non inverseuse
4. V⁻: alimentation négative
6. sortie
7. V⁺: alimentation positive.

7. la masse
14. alimentation (5V)

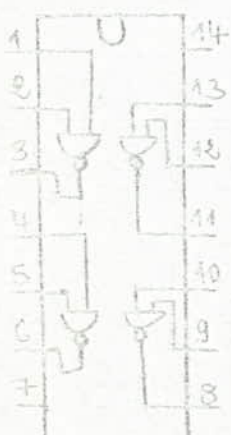


figure 16: brochage du 44 LS00

Bibliographie.

1. Electronique appliquée à la transmission de l'information.
1. Conception et calcul des circuits non linéaires.
J. HERVE.
2. Schémas et circuits d'électroniques.
R. BOURGERON
3. Technique des boucles d'avertissement de phase
A. Blanchard
4. Phase lock loop
DR. Roland BEST
5. Etude et réalisation de Magnette de feu 17x (These)
LAI FAOUI
- 6) Documents de R.T.C et Motorola.
- 7) Electronique application n°56 pages 53 à 61
- 8) Cours de M^{me} Goralski : transmission numérique

